(12) ОПИСАНИЕ ИЗОБРЕТЕНИЯ К ЕВРАЗИЙСКОМУ ПАТЕНТУ

(45) Дата публикации и выдачи патента

2020.10.30

(21) Номер заявки

201790341

(22) Дата подачи заявки

2015.08.10

(51) Int. Cl. *C07K 16/18* (2006.01) **C07K 16/30** (2006.01) A61K 39/00 (2006.01)

(56) WO-A1-2010136536

(54) АНТИ-СК8 АНТИТЕЛА ДЛЯ ПРИМЕНЕНИЯ В ЛЕЧЕНИИ РАКА

(31) 1457704

(32)2014.08.08

(33)FR

(43) 2017.06.30

(86) PCT/EP2015/068400

(87) WO 2016/020553 2016.02.11

(71)(73) Заявитель и патентовладелец:

ИНТЕРНЭШНЛ - ДРАГ -ДИВЕЛОПМЕНТ - БАЙОТЕК; ЮНИВЕРСИТЕ КЛОД БЕРНАР ЛИОН 1; ОСПИС СИВИЛЬ ДЕ ЛИОН; САНТР НАСЬОНАЛЬ ДЕ ЛЯ РЕШЕРШ СЬЕНТИФИК (СНРС); ЭНСТИТЮ НАСЬОНАЛЬ ДЕ ЛЯ САНТЭ Э ДЕ ЛЯ РЕШЕРШ МЕДИКАЛЬ (ИНСЕРМ); САНТР ЛИОН БЕРАР (FR)

(72) Изобретатель:

Альбаре Мари Александра, Диаз Жан-Жак, Мертани Ишем Клод, Сорен Жан-Кристоф, Вермо-Десроше Клодин, Вюйермоз Борис (FR)

Фелицына С.Б. (RU)

(74) Представитель:

Изобретение относится к антителу, фрагменту антитела, гуманизированному антителу и фрагменту антитела, специфически связывающемуся с человеческим цитокератином-8 (СК8), а также антигенному пептидному эпитопу для получения указанных антител и их фрагментов, применению таких антител или их фрагментов для лечения опухолей, клетки которых экспрессируют на своей поверхности белок СК8, и фармацевтическим композициям, содержащим указанные антитела или их фрагменты.

Область техники, к которой относится изобретение

Настоящее изобретение относится к области антител, которые можно применять в терапевтических целях. В частности, настоящее изобретение относится к антителу против цитокератина-8. Эти антитела являются полезными для лечения рака, экспрессирующего цитокератин-8 (СК8), например колоректального рака.

Сведения о предшествующем уровне техники

Цитокератин-8 (СК8) представляет собой белковый компонент промежуточных филаментов цитоскелета эпителиальных клеток,

Различные исследования показали, что белок СК8 связан с цитоплазматической мембраной различных раковых клеток. Например, в работе Godfroid et al. (Journal of Cell Science, 99: 595-607, 1991) описано, что белки СК8 присутствуют на поверхности культивированных клеток рака молочной железы. В работе Hembrough et al. (Journal of Cell Science, 108: 1071-1082, 1995) описано, что белок СК8 или белок, подобный СК8, присутствует на поверхности гепатоцитов, клеток HepG2 и клеток рака молочной железы.

Белок СК8 также был детектирован на поверхности карциномы других типов рака, например рака верхних отделов пищеварительного тракта (Gires et al., Biochemical and Biophysical Research Communications, 328: 1154-1162, 2005). Также было показано, что белок СК8 экспонирован на поверхности инвазивных и неинвазивных опухолевых клеток в колоректальном раке (WO 2010/136536). В частности, было показано, что в колоректальном раке появление инвазивных и/или метастатических клеток сопровождается расщеплением человеческого белка СК8, экспонированного на поверхности этих клеток. N-концевая часть белка СК8 остается экспонированной на поверхности клеток аденокарциномы толстой кишки, а С-концевая часть белка частично или полностью исчезает с поверхности этих клеток.

Колоректальный рак является особенно инвазивным раком. Хотя были достигнуты значительные успехи в лечении пациентов с метастатическим колоректальным раком (CRC), данный тип рака остается значительной глобальной проблемой для общественного здравоохранения (Weitz et al. Lancet 2005; 365: 153-65). Колоректальный рак (CRC) является третьим наиболее диагностируемым раком у пациентов обоих полов с предполагаемыми 940000 случаями в год и второй самой распространенной причиной смертности от рака, составляющей примерно 500000 случаев в год (Weitz et al. Lancet 2005; 365: 153-65). Во Франции каждый год диагностируется 37000 новых пациентов с CRC, из которых около половины умрут от метастатического заболевания. Однако на момент постановки диагноза примерно у 50% из новых 36000 пациентов уже имеются или будут развиваться метастазы (Weitz et al. Lancet 2005; 365: 153-65; Cunningham et al. Lancet 2010; Chevreul Eur J Health Econ 2010).

Разработка более эффективных лекарственных средств (иринотекан, оксалиплатин) позволила значительно улучшить способы лечения пациентов с CRC. В последнее десятилетие также наблюдалась острая потребность в терапиях на основе молекул -моноклональных антител (Mab), направленных против специфических мишеней, сверхэкспрессирующихся (рецепторы EGF или VEGF) в опухолевых клетках по сравнению со здоровыми клетками. Эти молекулы значительно улучшают способы лечения.

Цитокератин-8 проявляет множество функций, таких как, например, модулирование клеточной инвазии и/или клеточного апоптоза благодаря уникальному отличительному свойству его структуры. При клеточной инвазии СК8 связывается с плазминогеном и тканевым активатором плазминогена (t-PA) и ускоряет активацию плазминогена на поверхностях раковых клеток (J Protein Chem. 1998 Nov; 17(8):845-54). Участок связывания с плазминогеном локализован на С-конце СК8.

Кроме того, оказывая влияние на систему плазминогена, СК8 может быть вовлечен в модулирование сигнальной трансдукции раковых клеток (outside-in signal - передача сигнала в клетки) в ответ на изменения в микроокружении (Deryugina and Quigley, J. Biomed Biotechnol, 2012; 2012;564259).

При клеточном апоптозе цитоскелетная сеть цитокератина 8/18 (СК8/18) является ранней мишенью для расщепления каспазами во время апоптоза. В недавних публикациях было сделано предположение о том, что высококонсервативный и убиквитарный эффекторный домен "смерти", содержащий ДНК-связывающий белок (DEDD), участвует в рекрутинге прокаспазы-9 и -3 в каркасе этого СК8/18. DEDD взаимодействует с сетью промежуточных микрофиламентов СК8/18, а также с прокаспазой-3 и прокаспазой-9 (Apoptosis (2006) 11:1561-1572). Предполагается, что фибриллы СК8/18 могут обеспечивать каркас для индуцированного близостью ауторасщепления и активации прокаспазы-9 в тесной связи с каспазой-3.

Описаны различные моноклональные антитела, связывающиеся с человеческим белком СК8. В частности, в работе Erlandsson et al. (J. of Molecular Recognition, 16: 157-163, 2003; Johansson et al. Cancer Res 1999, 59, 48-51) описано моноклональное антитело TS1, направленное против человеческого белка СК8, его антиидиотип αTS1 и его применение в иммунотерапии карцином. В работе Doljak et al. (Cancer Letters, 267: 75-84, 2008) описано моноклональное антитело, связывающееся с мотивом VKIALEVEIATY, консервативным среди различных цитокератинов. Это моноклональное антитело связывается, в частности, с белками СК2, СК8, СК10 и СК18 в клетках рака молочной железы МСF-7. Это антитело ингибирует активацию плазминогена на клетках МСF-7 in vitro. Антитело М20 под торговой

маркой Sigma® описано Van Muijen, G. et al. (Lab. Invest., 57: 359, 1987; Waseem et al. Biochemistry 2004, 43, 1283-1295). Было показано, что это антитело, специфически связываясь с белком СК8, ингибирует рост и инвазивную способность опухолевых клеток колоректального рака в тестах, проводимых in vitro и in vivo (WO 2010/136536). В частности, в международной патентной публикации WO 2010/136536 показано, что это антитело специфически связывается с нерасщепленной частью человеческого белка СК8, присутствующего на поверхности опухолевых клеток аденокарциномы толстой кишки. Очищенное антитело М20 было продуцировано мышиной асцитической жидкостью. Гуманизированный формат Маb не был описан для этого конкретного антитела.

Несмотря на прогресс, достигнутый в отношении идентификации антигенов на поверхности опухолевых клеток и в отношении понимания механизмов, связанных с развитием рака, и хотя этот прогресс позволил разработать моноклональные антитела, которые могут значительно улучшить способы лечения, эффективность и специфичность указанных моноклональных антител может быть дополнительно улучшена. Разумеется, многие из белков, используемых для разработки таргетных терапий, сверхэкспрессируются в раковых клетках, но также экспрессируются на различных уровнях и в здоровых тканях. Таким образом, лекарственные средства, нацеленные на ключевой эпитоп белка, который более специфически экспрессируется на клеточной поверхности в раковой ткани, представляют многообещающий подход к улучшению специфичности противораковых терапий в отношении рака. Таким образом, сохраняется потребность в разработке терапевтических средств для лечения опухолей, клетки которых экспрессируют внешний белок СК8 (еСК8) на своей поверхности, в частности, для лечения, например, колоректального рака. В частности, сохраняется потребность в разработке моноклональных антител, которые не только нацелены на СК8, но и более специфически нацелены на эпитоп, связанный с раком, который препятствует способностям клеток к онкогенезу путем модулирования хорошо описанных важных процессов прогрессирования опухоли, таких как процессы, вовлеченные в клеточную инвазию и клеточный апоптоз.

Краткое описание изобретения

Настоящее изобретение относится к антителу или фрагменту антитела, специфически связывающемуся с пептидом, имеющим аминокислотную последовательность, представленную в SEQ ID NO: 29. Антитело содержит

тяжелую цепь, содержащую следующие три CDR, соответственно CDR-H1, CDR-H2 и CDR-H3, где CDR-H1 содержит последовательность SEQ ID NO: 37 или последовательность по меньшей мере с 80%-й, предпочтительно 85, 90, 95 и 98%-й идентичностью после оптимального выравнивания последовательности SEQ ID NO: 37; и

CDR-H2 содержит последовательность SEQ ID NO: 38 или последовательность по меньшей мере с 80%-й, предпочтительно 85, 90, 95 и 98%-й идентичностью после оптимального выравнивания последовательности SEQ ID NO: 38; и

CDR-H3 содержит последовательность SEQ ID NO: 39 или последовательность по меньшей мере с 80%-й, предпочтительно 85, 90, 95 и 98%-й идентичностью после оптимального выравнивания последовательности SEQ ID NO: 39; и

легкую цепь, содержащую следующие три CDR, соответственно CDR-L1, CDR-L2 и CDR-L3, где

CDR-L1 содержит последовательность SEQ ID NO: 34 или последовательность по меньшей мере с 80%-й, предпочтительно 85, 90, 95 и 98%-й идентичностью после оптимального выравнивания последовательности SEQ ID NO: 34; и

CDR-L2 содержит последовательность SEQ ID NO: 35 или последовательность по меньшей мере с 70%-й, предпочтительно 80, 85, 90, 95 и 98%-й идентичностью после оптимального выравнивания последовательности SEQ ID NO: 35;

CDR-L3 содержит последовательность SEQ ID NO: 36 или последовательность по меньшей мере с 80%-й, предпочтительно 85, 90, 95 и 98%-й идентичностью после оптимального выравнивания последовательности SEQ ID NO: 36.

Изобретение также относится к гуманизированному антителу или фрагменту антитела, специфически связывающемуся с пептидом, имеющим аминокислотную последовательность, представленную в SEQ ID NO: 29. Гуманизированное антитело содержит

тяжелую цепь, содержащую следующие три CDR, соответственно CDR-H1', CDR-H2' и CDR-H3', гле

CDR-H1' содержит последовательность SEQ ID NO: 40 или последовательность по меньшей мере с 80%-й, предпочтительно 85, 90, 95 и 98%-й идентичностью после оптимального выравнивания последовательности SEQ ID NO: 37; и

CDR-H2' содержит последовательность SEQ ID NO: 41 или последовательность по меньшей мере с 80%-й, предпочтительно 85, 90, 95 и 98%-й идентичностью после оптимального выравнивания последовательности SEQ ID NO: 38;

CDR-H3' содержит последовательность SEQ ID NO: 39 или последовательность по меньшей мере с 80%-й, предпочтительно 85, 90, 95 и 98%-й идентичностью после оптимального выравнивания последовательности SEQ ID NO: 39; и

легкую цепь, содержащую следующие три CDR, соответственно CDR-L1', CDR-L2' и CDR-L3', где

CDR-L1' содержит последовательность SEQ ID NO: 42 или последовательность по меньшей мере с 80%-й, предпочтительно 85, 90, 95 и 98%-й идентичностью после оптимального выравнивания последовательности SEQ ID NO: 34; и

CDR-L2' содержит последовательность SEQ ID NO: 35 или последовательность по меньшей мере с 70%-й, предпочтительно 80, 85, 90, 95 и 98%-й идентичностью после оптимального выравнивания последовательности SEQ ID NO: 35; и

CDR-L3' содержит последовательность SEQ ID NO: 36 или последовательность по меньшей мере с 80%-й, предпочтительно 85, 90, 95 и 98%-й идентичностью после оптимального выравнивания последовательности SEQ ID NO: 36.

Антитело или фрагмент антитела согласно настоящему изобретению можно применять для лечения опухолей, клетки которой экспрессируют белок СК8, в частности пептид, имеющий последовательность согласно SEQ ID NO: 29, на своей поверхности.

Также настоящее изобретение относится к человеческому антигенному пептиду СК8, состоящему из полипептида, имеющего от 8 до 16 аминокислот и содержащего последовательность, представленную в SEQ ID NO: 29, в частности человеческому антигенному пептиду СК8, состоящему из последовательности, представленной в SEQ ID NO: 29.

Также настоящее изобретение относится к указанному человеческому антигенному пептиду СК8 для его применения в качестве лекарственного средства.

Настоящее изобретение также относится к фармацевтической композиции, содержащей антитело или фрагмент антитела в соответствии с настоящим изобретением и подходящий фармацевтический носитель, в частности, для ее применения в лечении или предупреждении рака, аутоиммунного заболевания, воспалительного состояния, вирусной инфекции или вирусного заболевания, и/или в качестве лекарственного средства для индукции апоптоза опухолевой клетки, в частности, для применения в лечении опухолей, клетки которых экспрессируют на своей поверхности белок СК8, в частности пептид с последовательностью согласно SEQ ID NO: 29.

В заключение, настоящее изобретение относится к набору, включающему контейнер, содержащий молекулу, которая может связываться с эпитопом, при этом указанный эпитоп имеет последовательность по меньшей мере с 60%-й, предпочтительно 65, 70, 75, 80, 85, 90 и 100%-й идентичностью после оптимального выравнивания последовательности SEQ ID NO: 29. Указанный набор можно применять для обнаружения рака.

Краткое описание чертежей

На фиг. 1A и 1B показана детекция с помощью Вестерн-блоттинга изоформ СК8 с использованием различных анти-СК8 антител, включая mD-A10 Mab.

На фиг. 2A и 2B показан уровень конкуренции в присутствии неконъюгированного пептида 1 (SEQ ID NO: 1) или неконъюгированного пептида 2 (SEQ ID NO: 2) при мечении клеток анти-СК8 антителами, измеренный с использованием проточной цитометрии.

На фиг. 3A, 3B и 3C показан уровень конкуренции в присутствии неконъюгированного пептида 1 (SEQ ID NO: 1) или неконъюгированного пептида 2 (SEQ ID NO: 2) при детекции изоформ белка СК8 с помощью Вестерн-блоттинга с использованием антитела M20, mD-D6 Mab или mD-A10 Mab.

На фиг. 4 показан эффект анти-СК8 антител (50 мкг/мл), включая mD-A10 Mab, на инвазию клеток Isreco-1, индуцированную 10%-й фетальной бычьей сывороткой (FBS).

На фиг. 5 показан эффект анти-СК8 антител на пролиферацию клеток Isreco-1.

На фиг. 6A и 6B показан эффект in vivo анти-СК8 антител на активацию каспазы-3 в опухолевых клетках Isreco-1.

На фиг. 7 показан эффект анти-СК8 антител, включая mD-A10 Mab, на рост опухоли (Isreco-1) у мышей.

На фиг. 8 показан дозозависимый эффект концентрации mD-A10 Mab на рост опухоли (Isreco-1) у мышей.

На фиг. 9 показан эффект анти-СК8 антител, включая mD-A10 Mab, на рост опухоли (HCT116) у мышей

На фиг. 10 показан дозозависимый эффект концентрации mD-A10 Mab на рост опухоли (HCT 116) у мышей.

На фиг. 11 показано расположение пептидов 1 (SEQ ID NO: 1), 2 (SEQ ID NO: 2), 3 (SEQ ID NO: 3) и 4 (SEQ ID NO: 4) в последовательности человеческого циторератина-8 (ref: Uni-ProtKB P05787).

На фиг. 12 показана реактивность антитела M20 или mD-A10 Mab в отношении BSA-конъюгированного пептида 1 (SEQ ID NO: 1), 2 (SEQ ID NO: 2), 3 (SEQ ID NO: 3), 4 (SEQ ID NO: 4) или 17 (SEQ ID NO: 17) с помощью ELISA.

На фиг. 13A показана реактивность mD-A10 Mab в отношении покрывающих лунки неконьюгированных пептидов 1, 5-28 (SEQ ID NO: 1, SEQ ID NO: 5 - SEQ ID NO:28) с помощью ELISA.

На фиг. 13B показана реактивность M20 в отношении покрывающих лунки неконъюгированных пептидов 1, 5-28 (SEQ ID NO: 1, SEQ ID NO: 5 - SEQ ID NO: 28) с помощью ELISA.

На фиг. 14 показан эффект неконъюгированных пептидов 1 и 5-28 (SEQ ID NO:1, SEQ ID NO: 5 - SEQ ID NO: 28) в отношении распознавания антителом mD-A10 Mab BSA-конъюгированного пептида 1 (SEQ ID NO: 1) с помощью ELISA.

На фиг. 15 показан эффект неконъюгированных пептидов 1, 5-28 (SEQ ID NO:1, SEQ ID NO: 5 - SEQ ID NO: 28) в отношении распознавание антителом mD-A10 Mab BSA-конъюгированного пептида 17 (SEQ ID NO: 17) с помощью ELISA.

На фиг. 16 показаны аминокислотные и нуклеотидные последовательности вариабельной области легкой цепи (VL) антитела mD-A10 Mab с описанием FR1, CDR1, FR2, CDR2, FR3 и CDR3 согласно IMGT®.

На фиг. 17 показаны аминокислотные и нуклеотидные последовательности вариабельной области тяжелой цепи (VH) антитела mD-A10 Mab с описанием FR1, CDR1, FR2, CDR2, FR3 и CDR3 согласно IMGT®.

На фиг. 18 показаны аминокислотные и нуклеотидные последовательности вариабельной области тяжелой цепи (VH) гуманизированного моноклонального антитела, полученного из mD-A10 Mab.

На фиг. 19 показаны аминокислотные и нуклеотидные последовательности вариабельной области легкой цепи (VH) гуманизированного моноклонального антитела, полученного из mD-A10 Mab.

На фиг. 20 показаны аминокислотные и нуклеотидные последовательности константной области тяжелой цепи (CH) гуманизированного моноклонального антитела, полученного из mD-A10 Mab.

На фиг. 21 показаны аминокислотные и нуклеотидные последовательности константной области легкой цепи (CL) гуманизированного моноклонального антитела, полученного из mD-A10 Mab.

Определения.

Термин "антитела", используемый в описании настоящего изобретения, относится к моноклональным антителам (Mab) или поликлональным антителам. Антитела могут представлять собой химерные, гуманизированные или конъюгированные антитела. Типичное антитело состоит из двух идентичных тяжелых цепей и двух идентичных легких цепей, которые соединены дисульфидными связями. Каждая тяжелая и легкая цепь содержит константную область и вариабельную область. Каждая вариабельная область содержит три сегмента, называемые "участками, определяющими комплементарность" ("CDR") или "гипервариабельными участками", которые ответственны в первую очередь за связывание с эпитопом антигена. Как правило, они называются CDR1, CDR2 и CDR3, пронумерованные последовательно от N-конца. Более высококонсервативные части вариабельных областей называются "каркасными участками".

Выражение "моноклональные антитела", используемое в описании настоящего изобретения, относится к антителу, полученному из популяции, по существу, гомогенных антител. В частности, индивидуальные антитела, составляющие популяцию, являются идентичными, за исключением нескольких возможных природных мутаций, которые могут присутствовать в незначительных количествах. Другими словами, моноклональное антитело состоит из гомогенных антител, образовавшихся в результате пролиферации клона единичной клетки (например, гибридома, эукариотическая клетка-хозяин, трансфицированная молекулой ДНК, кодирующей гомогенное антитело, прокариотическая клетка-хозяин, трансфицированная молекулой ДНК, кодирующей гомогенное антитело, и т.д.), как правило, характеризующегося тяжелыми цепями одного класса и подкласса и легкими цепями одного типа. Моноклональные антитела являются высокоспецифическими и направлены против одного антигена. Кроме того, в отличие от препаратов поликлональных антител, которые в типичном случае включают различные антитела, направленые против разных детерминант или эпитопов, каждое моноклональное антитело направлено против одного эпитопа антигена.

Выражение "химерные антитела", используемое в описании настоящего изобретения, относится к антителам, содержащим константные части тяжелых и легких цепей антитела заданных видов, например человеческого антитела, на которое привиты вариабельные части тяжелых и легких цепей антитела гетерологичных видов, например мышиного антитела.

Выражение "гуманизированные антитела", используемое в описании настоящего изобретения, относится к человеческим антителам, в которых гипервариабельные участки (CDR) заменены на гипервариабельные участки (CDR) антитела гетерогенного происхождения, например мышиного происхождения, которые составляют антигенсвязывающий участок. Поскольку определенные аминокислоты, локализованные в соседних с CDR (FR) областях, играют роль в структуре антигенсвязывающего участка, человеческие антитела дополнительно могут быть модифицированы (CDR) таким образом, чтобы включать аминокислоты FR антитела гетерогенного происхождения.

Выражение "конъюгированные антитела", используемое в описании настоящего изобретения, относится к искусственно смешанным молекулам, в которых компоненты связаны с антителом, способным селективно распознавать антиген. Эти компоненты могут представлять собой цитотоксические лекарственные средства, противораковые агенты, токсины, фрагменты и/или радиоактивные элементы.

Антитела могут представлять собой мультивалентные антитела, то есть они могут содержать более двух антигенсвязывающих участков, или представлять собой мультиспецифические антитела, при усло-

вии, что они проявляют желаемую биологическую активность.

Выражение "фрагмент(ы) антител", используемое в описании настоящего изобретения, относится к функциональным частям антител (в противоположность целым антителам), то есть частям антител, способным связываться с антигеном (антигенсвязывающий фрагмент). Следует понимать, что фрагменты антитела сохраняют способность связываться с мишенью (также обычно называемой антигеном) антитела, о котором идет речь. Примеры фрагментов антител включают следующие фрагменты: Fv (состоящий из вариабельных областей тяжелых и легких цепей антитела), ScFv (двухвалентный одноцепочечный вариабельный фрагмент), Fab (состоящий из полномерной легкой цепи и части тяжелой цепи), F(ab')2 (состоит из двух Fab-фрагментов, связанных шарнирной областью), или любой фрагмент, период полувыведения которого будет увеличиваться путем химической модификации, такой как добавление полиалкиленгликоля, такого как полиэтиленгликоль ("пегилирование") (пегилированные фрагменты, называемые Fv-PEG, scFv-PEG, Fab-PEG, F(ab')2-PEG или Fab'-PEG) ("PEG" для полиэтиленгликоля), или путем включения в липосому, при этом указанные фрагменты имеют по меньшей мере один из характерных CDR антитела согласно изобретению. Обычно фрагмент антитела может иметь любой максимальный размер до тех пор, пока он является схожим или обладает иммунологическими свойствами, относящимися к антителу, которое специфически связывается с эпитопом антитела, о котором идет речь. Например, связывающиеся структурные единицы и фрагменты легкой цепи антитела могут иметь по меньшей мере 60 аминокислот, менее чем около 200 аминокислот, менее чем около 175 аминокислот, менее чем около 150 аминокислот или менее чем около 120 аминокислот, если фрагмент антитела относится к субъединице легкой цепи антитела. Кроме того, связывающиеся структурные единицы и фрагменты тяжелой цепи антитела могут иметь менее чем около 425 аминокислот, менее чем около 400 аминокислот, менее чем около 375 аминокислот, менее чем около 350 аминокислот, менее чем около 325 аминокислот или менее чем около 300 аминокислот, если фрагмент антитела относится к субъединице тяжелой цепи антитела.

Термин "апоптоз", используемый в описании настоящего изобретения, относится к упорядоченной или контролируемой форме клеточной гибели у млекопитающих, которая обычно сопровождается одним или более характерными клеточными изменениями, такими как конденсация цитоплазмы, утрата микроворсинок плазматической мембраны, сегментация ядра, деградация хромосомной ДНК или утрата митохондриальной функции. Активация цистеиновых протеаз, называемых каспазами, играет важную роль в осуществлении апоптоза.

Термин "инвазия", используемый в описании настоящего изобретения, относится к клеточной миграции и определяет способность клеток стать лабильными и перемещаться сквозь внеклеточный матрикс в пределах ткани или инфильтрировать соседние ткани. Раковые клетки, которые стали инвазивными, могут диссеминировать на вторичные участки и формировать метастазы.

Термин "агонист" или "агонистический", используемый в описании настоящего изобретения, относится к молекуле, которая способна прямо или опосредованно индуцировать, стимулировать или усиливать биологическую активность или активацию СК8.

Термин "антагонист" или "антагонистический", используемый в описании настоящего изобретения, относится к молекуле, которая способна прямо или опосредованно противодействовать, снижать или ингибировать биологическую активность или активацию СК8.

Термин "рак", используемый в описании настоящего изобретения, относится ко всем злокачественным неопластическим образования, независимо от их гистологической природы. Существует две основные категории злокачественных опухолей: карциномы эпителиального происхождения и саркомы, происходящие из соединительной ткани. Злокачественные опухоли состоят из инвазивных или распространяющихся атипичных клеток, обычно характеризующихся способностью к автономному росту, нечеткими контурами, способностью инвазировать соседние ткани и сосуды и тенденцией к распространению посредством формирования метастаз.

Термин "полинуклеотид", используемый в описании настоящего изобретения, относится к одноцепочечной нуклеотидной цепи ДНК или РНК или ее комплементу, или к двухцепочечной нуклеотидной цепи комплементарной ДНК (кДНК), или геномной ДНК.

Термин "эпитоп", используемый в описании настоящего изобретения, относится к молекуле, которая может быть распознана паратопом (вариабельной частью антитела).

Термин "гомология", используемый в описании настоящего изобретения, относится к сходству между пептидными последовательностями. Пептидные последовательности могут иметь делецию, добавление или замену по меньшей мере одной аминокислоты по сравнению с референсным полипептидом.

Используемый в описании настоящего изобретения "процент идентичности" между двумя нуклеотидными или аминокислотными последовательностями определяют посредством сравнения этих двух последовательностей, выровненных оптимальным способом, при этом сравниваемая нуклеотидная или аминокислотная последовательность может содержать добавления или делеции относительно референсной последовательности для осуществления оптимального выравнивания между обеими последовательностями. Процент идентичности рассчитывают, определяя число идентичных положений, в которых нуклеотидный или аминокислотный остаток будет одинаковым в двух последовательностях, предпочти-

тельно в двух полных последовательностях, и деления этого числа идентичных положений на общее число положений в окне сравнения и умножения полученного результата на 100 для получения процента идентичности между обеими этими последовательностями. Например, можно использовать программу BLAST, "BLAST 2 sequences" (Tatusova et al., "Blast 2 sequences - a new tool for comparing protein and nucleotide sequences", FEMS Microbiol, 1999, Lett. 174:247-250), доступную на сайте http://www.ncbi.nlm.nih.gov/gorf/b12.html, с параметрами, используемыми по умолчанию (в частности, что касается параметров "штраф за внесение делеции" ("gap open penalty"): 5, и "штраф за продолжение делеции" ("extension gap penalty"): 2; при этом выбранной матрицей является, например, матрица "BLO-SUM 62", предложенная этой программой); процент идентичности между обеими сравниваемыми последовательностями непосредственно вычисляется этой программой.

Мышиное моноклональное антитело D-A10 называется здесь как "mD-A10 Mab". Химерное моноклональное антитело D-A10 называется здесь как "chD-A10 Mab". Гуманизированное моноклональное антитело D-A10 называется здесь как "HzD-A10Mab".

Перечень последовательностей

```
NO:
                              относится
                                                следующему
AEQRGELAIKDANAKLSELEAALQRAKQD-C.
     SEQ ID NO: 2 относится к следующему пептиду: AEQRGELAIKDANAKLSELE-C.
     SEQ ID NO: 3 относится к следующему пептиду: AALQRAKQD-C.
     SEQ ID NO: 4 относится к следующему пептиду: SELEAALORAKOD-C.
     SEQ ID NO: 5 относится к следующему
AEQRGELAIKDANAKLSELEAALQRAKQD
     SEQ ID NO: 6 относится к следующему пептиду: AALQRAKQD
     SEQ ID NO: 7 относится к следующему пептиду: EAALQRAKQD
     SEQ ID NO: 8 относится к следующему пептиду: LEAALQRAKQD
     SEQ ID NO: 9 относится к следующему пептиду: ELEAALQRAKQD
     SEQ ID NO: 10 относится к следующему пептиду: SELEAALQRAKQD
     SEQ ID NO: 11 относится к следующему пептиду: LSELEAALQRAKQD
     SEQ ID NO: 12 относится к следующему пептиду: KLSELEAALQRAKQD
     SEQ ID NO: 13 относится к следующему пептиду: AKLSELEAALQRAKQD
     SEQ ID NO: 14 относится к следующему пептиду: NAKLSELEAALQRAKQD
     SEQ ID NO: 15 относится к следующему пептиду: ANAKLSELEAALQRAKQD
     SEQ ID NO: 16 относится к следующему пептиду: DANAKLSELEAALQRAKQD
     SEQ ID NO: 17 относится к следующему пептиду:
AIKDANAKLSELEAALORAKOD
     SEQ ID NO: 18 относится к следующему пептиду: AIKDANAKLSELEAALQRAKQ
     SEQ ID NO: 19 относится к следующему пептиду: AIKDANAKLSELEAALQRAK
     SEO ID NO: 20 относится к следующему пептиду: AIKDANAKLSELEAALORA
     SEQ ID NO: 21 относится к следующему пептиду: AIKDANAKLSELEAALQR
     SEQ ID NO: 22 относится к следующему пептиду: AIKDANAKLSELEAALQ
     SEO ID NO: 23 относится к следующему пептиду: AIKDANAKLSELEAAL
     SEQ ID NO: 24 относится к следующему пептиду: AIKDANAKLSELEAA
     SEQ ID NO: 25 относится к следующему пептиду: AIKDANAKLSELEA
     SEO ID NO: 26 относится к следующему пептиду: AIKDANAKLSELE
     SEQ ID NO: 27 относится к следующему пептиду: AIKDANAKLSEL
     SEQ ID NO: 28 относится к следующему пептиду: AIKDANAKLSE
     SEQ ID NO: 29 относится к следующему пептиду: LSELEAAL
     SEQ ID NO: 30 относится к следующей нуклеотидной последовательности:
     AACATTGTTATGACCCAGGCCGCACCCTCTGTACCTGTCACTCCTGGAGAGTC\\
AGTATCCATCTCCTGCAGGTCTAGTAGGAGTCTTCTGTATAGTAATGGCAACACTTA
TTTGTATTGGTTCCTGCAGAGGCCAGGCCAGTCTCCTCAGCGCCTGATATATTATAT\\
GTCCAACCTTGCCTCAGGAGTCCCAGACAGGTTCAGTGGCAGAGGGTCAGGAACTG
ATTTCACACTGAGAATCAGTAGAGTGGAGGCTGAGGATGTGGGTGTTTATTACTGTA
TGCAAAGTCTAGAATATCCTTTCACG
     SEO ID NO: 31 относится к следующему пептиду
     NIVMTOAAPSVPVTPGESVSISCRSSKSLLYSNGNTYLYWFLORPGOSPORLIYY
MSNLASGVPDRESGRGSGTDETLRISRVEAEDVGVYYCMOSLEYPETEGGGTKLEIK
     SEQ ID NO: 32 относится к следующей нуклеотидной последовательности:
     GAAGTGCAGCTGTTGGAGACTGGAGGAGGCTTGGTGCAACCGGGGGGGTCA
```

CGGGGACTCTCTTGTGAAGGCTCAGGGTTTACTTTTAGTGGCTTCTGGATGAGCTGG GTTCGACAGACACCTGGGAAGACCCTGGAGTGGATTGAGACATTAATTCTGATGG CAGTGCAATAAAATACGCACCATCCATAAAGGATCGATTCACTATCTTCAGAGACA ATGACAAGAGCACCCTGTACCTGCAGATGAGCAATGTGCGATCTGAGGACACAGCC ACGTATTTCTGTATCGCCCATTACTCCGGTGGGGGGGTTTGCTTACTGGGGTCAAGGA ACCTCGGTCACCGTCTCCTCA

SEQ ID NO: 33 относится к следующему пептиду:

 $EVQLLETGGGLVQPGGSRGLSCEGSGFFFSGFWMSWVRQTPGKTLEWIGDINSD\\ GSAIKYAPSIKDRFTIFRDNDKSTLYLQMSNVRSEDTATYFCIAHYSGGGFAYWGQGTS\\ VTVSS$

SEQ ID NO: 34 относится к следующему пептиду: KSLLYSNGNTY

SEQ ID NO: 35 относится к следующему пептиду: YMS

SEQ ID NO: 36 относится к следующему пептиду: MQSLEYPFT

SEQ ID NO: 37 относится к следующему пептиду: GFTFSGFW

SEQ ID NO: 38 относится к следующему пептиду: INSDGSAI

SEQ ID NO: 39 относится к следующему пептиду: IAHYSGGGFAY

SEQ ID NO: 40 относится к следующему пептиду: GFTFSSYW

SEQ ID NO: 41 относится к следующему пептиду: INSDGSST

SEQ ID NO: 42 относится к следующему пептиду: KSLLYSNGYNY

SEQ ID NO: 43 относится к следующему пептиду:

SEQ ID NO: 44 относится к следующему пептиду:

 $\label{lem:constraint} EVQLVESGGGLVQPGGSLRLSCAASGFTFSSYWMSWVRQAPGKGLVWVSDINS\\ DGSSTKYADSVKGRFTISRDNAKNTLYLQMNSLRAEDTAVYYCIAHYSGGGFAYWGQGTLVTVSS$

SEQ ID NO: 45 относится к следующей нуклеотидной последовательности:

SEQ ID NO: 46 относится к следующей нуклеотидной последовательности:

SEQ ID NO: 47 относится к следующему пептиду:

ASTKGPSVFPLAPSSKSTSGGTAALGCLVKDYFPEPVTVSWNSGALTSGVHTFPA VLQSSGLYSLSSVVTVPSSSLGTQTYICNVNHKPSNTKVDKKVEPKSCDKTHTCPPCPAP ELLGGPSVFLFPPKPKDTLMISRTPEVTCVVVDVSHEDPEVKFNWYVDGVEVHNAKTKP REEQYNSTYRVVSVLTVLHQDWLNGKEYKCKVSNKALPAPIEKTISKAKGQPREPQVY TLPPSRDELTKNQVSLTCLVKGFYPSDIAVEWESNGQPENNYKTTPPVLDSDGSFFLYSK LTVDKSRWQQGNVFSCSVMHEALHNHYTQKSLSLSPGK

SEQ ID NO: 48 относится к следующей нуклеотидной последовательности:

GCCTCCACCAAGGGCCCATCGGTCTTCCCCCTGGCACCCTCCTCCAAGAGCAC C TCTGGGGGCACAGCGGCCCTGGGCTGCCTGGTCAAGGACTACTTCCCCGAACCG GTGACGGTGTCGTGGAACTCAGGCGCCCTGACCAGCGGCGTGCACACCCTTCCCGGCT $\tt GTCCTACAGTCCTCAGGACTCTACTCCCTCAGCAGCGTCGTGACCGTGCCCTCC$ ACCAAGGTGGACAAGAAGTTGAGCCCAAATCTTGTGACAAAACTCACACATGCCC ACCGTGCCCAGCACCTGAACTCCTGGGGGGACCGTCAGTCTTCCTCTTCCCCCCA AAACCCAAGGACACCCTCATGATCTCCCGGACCCCTGAGGTCACATGCGTGGTGGT GGACGTGAGCCACGAAGACCCTGAGGTCAAGTTCAACTGGTACGTGGACGGCGTGGAGGTGCATAATGCCAAGACAAAGCCGCGGGAGGAGCAGTACAACAGCACGTACCGTGTGGTCAGCGTCCTCACCGTCCTGCACCAGGACTGGCTGAATGGCAAGGAGTACA AGTGCAAGGTCTCCAACAAAGCCCTCCCAGCCCCCATCGAGAAAACCATCTCCAAA ${\tt GCCAAAGGGCAGCCCCGAGAACCACAGGTGTACACCCTGCCCCCATCCCGGGATGA}$ GCTGACCAAGAACCAGGTCAGCCTGACCTGCCTGGTCAAAGGCTTCTATCCCAGCG A CATCGCCGTGGAGTGGGAGAGCAATGGGCAGCCGGAGAACAACTACAAGACCACGCCTCCCGTGCTGGACTCCGACGGCTCCTTCTTCCTCTACAGCAAGCTCACCGTGGA CAAGAGCAGGTGGCAGCAGGGGAACGTCTTCTCATGCTCCGTGATGCATGAGGCTC TGCACAACCACTACACGCAGAAGAGCCTCTCCCTGTCTCCGGGTAAATGA

SEQ ID NO: 49 относится к следующему пептиду:

 $RTVAAPSVFIFPPSDEQLKSGTASVVCLLNNFYPREAKVQWKVDNALQSGNSQE\\ SVTEQDSKDSTYSLSSTLTLSKADYEKHKVYACEVTHQGLSSPVTKSFNRGEC$

Подробное описание изобретения

Антитела и фрагменты антител.

Авторы изобретения разработали антитела и фрагменты антител, которые специфически связываются с пептидом, имеющим аминокислотную последовательность от положения 353 до положения 360 человеческого белка СК8 (ref.: Uni-ProtKB P05787). Аминокислотная последовательность от положения 353 до положения 360 человеческого белка СК8 представлена в SEQ ID NO: 29. Под "специфически" понимается, что антитела или фрагменты антител связываются только с пептидом человеческого СК8, имеющим указанную последовательность. Должно быть понятно, что антитела или фрагменты антител могут связываться с любым фрагментом белка/пептида, содержащим указанную последовательность.

Таким образом, настоящее изобретение относится к антителам или фрагментам антител, специфически связывающимся с пептидом согласно последовательности SEQ ID NO: 29. Эти антитела или фрагменты антител определяются в описании настоящего изобретения выражением "антитела или фрагменты антител по настоящему изобретению".

Антитела согласно настоящему изобретению содержат

тяжелую цепь, содержащую следующие три CDR, соответственно CDR-H1, CDR-H2 и CDR-H3, где CDR-H1 содержит последовательность SEQ ID NO: 37 или последовательность по меньшей мере с 80%-й, предпочтительно 85, 90, 95 и 98%-й идентичностью после оптимального выравнивания последовательности SEQ ID NO: 37; и

CDR-H2 содержит последовательность SEQ ID NO: 38 или последовательность по меньшей мере с 80%-й, предпочтительно 85, 90, 95 и 98%-й идентичностью после оптимального выравнивания последовательности SEQ ID NO: 38; и

CDR-H3 содержит последовательность SEQ ID NO: 39 или последовательность по меньшей мере с 80%-й, предпочтительно 85, 90, 95 и 98%-й идентичностью после оптимального выравнивания последовательности SEO ID NO: 39: и

легкую цепь, содержащую следующие три CDR, соответственно CDR-L1, CDR-L2 и CDR-L3, где

CDR-L1 содержит последовательность SEQ ID NO: 34 или последовательность по меньшей мере с 80%-й, предпочтительно 85, 90, 95 и 98%-й идентичностью после оптимального выравнивания последовательности SEQ ID NO: 34; и

CDR-L2 содержит последовательность SEQ ID NO: 35 или последовательность по меньшей мере с 70%-й, предпочтительно 80, 85, 90, 95 и 98%-й идентичностью после оптимального выравнивания последовательности SEQ ID NO: 35; и

CDR-L3 содержит последовательность SEQ ID NO: 36 или последовательность по меньшей мере с 80%-й, предпочтительно 85, 90, 95 и 98%-й идентичностью после оптимального выравнивания последовательности SEQ ID NO: 36.

Последовательности CDR определены в соответствии с IMGT®, Kabat® или общепринятой системой нумерации, которая содержит последовательности, общие для IMGT® и Kabat® (смотри раздел "Примеры"). В табл. 1 показаны CDR антител по настоящему изобретению, в частности, антитела mD-A10 Mab.

Таблица 1 Последовательности CDR для VH или VL антитела mD-A10 Mab

	SEQ ID NO:	ID INCT®		Последов-ть по Kabat®	SEQ ID NO:	Последов-ть (Общепринятая система нумерации)
VL mD	A10					
CDR1	34	KSLLYSNGNT Y	34K	RSSKSLLYSNGNTY LY	34C	KSLLYSNGNTY
CDR2	35	YMS	35K	YMSNLAS	35C	YMS
CDR3	36	MQSLEYPFT	36K	MQSLEYPFT	36C	MQSLEYPFT
VH mD-	A10					
CDR1	37	GFTFSGFW	37K	GFWMS	37C	GFW
CDR2	38	INSDGSAI	38K	DINSDGSAIKYAPSI KD	38C	INSDGSAI
CDR3	39	IAHYSGGGFA Y	39K	HYSGGGFAY	39C	HYSGGGFAY

Согласно определению эти CDR содержат вариант CDR, полученный путем делеции, замены или добавления одной или более аминокислот, при этом указанный вариант сохраняет специфичность исходного CDR. Общепринятая система нумерации предлагает определение участка CDR как имеющего короткие аминокислотные последовательности или минимального CDR.

Антитела или фрагменты антител согласно настоящему изобретению (анти-СК8 антитела или

фрагменты анти-СК8 антител) эффективно ингибируют инвазивную способность опухолевых клеток in vitro и эффективно ингибируют рост опухоли in vivo.

Антитела или фрагменты антител согласно настоящему изобретению (анти-СК8 антитела или фрагменты анти-СК8 антител) эффективно индуцируют гибель СК8-экспрессирующих раковых клеток in vivo посредством опосредованного каспазой-3 апоптоза. В действительности, антитела или фрагменты антител согласно настоящему изобретению способны индуцировать in vivo расщепление каспазой-3, что является признаком активации апоптоза.

Антитела согласно настоящему изобретению предпочтительно представляют собой моноклональные антитела. Указанные моноклональные антитела могут представлять собой мышиные, химерные или гуманизированные антитела. Они могут быть получены стандартными способами, хорошо известными специалистам в данной области.

Моноклональные антитела, в частности, мышиного происхождения, могут быть получены в соответствии с методиками, описанными в руководстве Antibodies (Harlow and Lane, Antibodies: A Laboratory Manual, Cold Spring Harbor Laboratory, Cold Spring Harbor NY, pp. 726, 1988), или получены из гибридом. Такие методики хорошо известны специалисту в данной области.

Альтернативно, моноклональные антитела согласно настоящему изобретению могут быть получены, например, из клеток животного, иммунизированного фрагментом человеческого белка СК8, содержащим пептид, имеющий SEQ ID NO: 1 или SEQ ID NO: 2, и последующего скрининга моноклональных антител на связывание с пептидом, имеющим SEQ ID NO: 29, путем картирования эпитопов.

Моноклональные антитела согласно изобретению могут быть, например, очищены на колонке для аффинной хроматографии с предварительно иммобилизованным фрагментом человеческого СК8, содержащим пептид с последовательностью SEQ ID NO: 29. Одновременно или последовательно могут быть использованы другие способы очистки, хорошо известные специалисту в данной области.

Химерные антитела могут быть получены с помощью методик генетической рекомбинации. Например, химерное антитело может быть получено посредством клонирования рекомбинантной ДНК, включающей в себя промотор и последовательность, кодирующую вариабельную область нечеловеческого, в частности, мышиного моноклонального антитела, и последовательность, кодирующую константную область человеческого антитела. Химерное антитело согласно изобретению, кодируемое таким рекомбинантным геном, будет представлять собой, например, человекомышиную конструкцию, причем специфичность этого антитела будет определяться вариабельной областью, происходящей из мышиной ДНК, а его изотипы - константной областью, происходящей из человеческой ДНК. Способы получения химерных антител подробно описаны в литературе.

Гуманизированные антитела могут быть получены с использованием методик, известных специалисту в данной области (таких как, например, описанные в документах Singer et al., J. Immun., 150:2844-2857, 1992; Mountain et al., Biotechnol. Genet. Eng. Rev., 10:1-142, 1992 and Bebbington et al., Bio/Technology, 10:169-175, 1992). Специалисту в данной области также известны и другие методики получения гуманизированных антител, такие как, например, методика "CDR-привития", описанная в патентах EP 0451261, EP 0682040, EP 0939127, EP 0566647 или патентах США 5530101, 6180370, 5585089 и 5693761. Также можно упомянуть патенты США 5639641 или еще 6054297, 5886152 и 5877293.

Для сведения к минимуму ответов анти-V области моноклональные гуманизированные антитела могут быть получены путем прививания на человеческие матрицы только определяющих специфичность остатков (SDR), то есть остатков, которые являются важными для комплементарности поверхностей Mab и его антигена. Исходя из этого, мышиные антитела могут быть гуманизированы путем прививания их определяющих комплементарность участков (CDR) на каркасные участки вариабельных областей легкой (VL) и вариабельных областей тяжелых (VH) цепей молекул иммуноглобулина человека, при этом сохраняя те остатки мышиных каркасных участков, которые могут быть важными для целостности антигенобъединяющего участка. Однако, поскольку ксеногенные CDR гуманизированных антител могут спровоцировать антиидиотипический (анти-Id) ответ у пациентов, гуманизированные антитела согласно изобретению или их фрагменты могут быть получены с использованием методик, сводящих к минимуму анти-Іd ответ. Примеры таких методик включают прививание на человеческие каркасные участки только определяющих специфичность остатков (SDR), то есть остатков CDR, которые являются наиболее важными для взаимодействия антитело-лиганд. SDR идентифицируют с помощью баз данных трехмерных структур комплексов антиген-антитело известных структур или с помощью мутационного анализа антителообъединяющего участка. Альтернативный подход к гуманизации, который включает удерживание большего количества остатков CDR, основан на прививании "укороченных" CDR, то есть удлинений остатков CDR, которые включают все SDR.

Фрагменты антитела согласно настоящему изобретению могут быть получены из антител, описанных здесь, путем ферментативного расщепления, например, с помощью пепсина или папаина, и/или посредством расщепления дисульфидных мостиков в результате химического восстановления. Альтернативно, фрагменты антител согласно настоящему изобретению могут быть получены с применением методик генетической рекомбинации или посредством пептидного синтеза. Эти методы хорошо известны специалисту в данной области.

Антитела или фрагменты антител согласно настоящему изобретению предпочтительно представляют собой антитела или фрагменты антител, выбранные из мышиных, химерных и гуманизированных антител, предпочтительно имеющих оптимизированную последовательность.

Выражение "оптимизированная последовательность" означает, в частности, что кодоны, кодирующие конститутивные аминокислоты представляющего интерес белка (например, вариабельные домены антитела), могут быть оптимизированы для лучшего распознавания трансляционным механизмом в заданном типе клеток. В этом отношении аминокислотная последовательность белка, кодируемого оптимизированной последовательностью, является идентичной неоптимизированной последовательности, но нуклеотидная последовательность отличается.

Антитела согласно настоящему изобретению или фрагменты этих антител, могут содержать SEQ ID NO: 31 или последовательность по меньшей мере с 80%-й, предпочтительно 85, 90, 95 и 98%-й идентичностью после оптимального выравнивания последовательности SEQ ID NO: 31 и/или SEQ ID NO: 33, или последовательность по меньшей мере с 80%-й, предпочтительно 85, 90, 95 и 98%-й идентичностью после оптимального выравнивания последовательности SEQ ID NO: 33.

Антитела согласно настоящему изобретению или фрагменты этих антител могут содержать вариабельные области, кодируемые полинуклеотидами, имеющими нуклеотидную последовательность мышиной вариабельной области легкой цепи (SEQ ID NO: 30) или последовательность по меньшей мере с 80%-й, предпочтительно 85, 90, 95 и 98%-й идентичностью после оптимального выравнивания последовательности SEQ ID NO: 30, и/или нуклеотидную последовательность мышиной вариабельной области тяжелой цепи (SEQ ID NO: 32) или последовательность по меньшей мере с 80%-й, предпочтительно 85, 90, 95 и 98%-й идентичностью после оптимального выравнивания последовательности SEQ ID NO: 32.

SEQ ID NO: 30 соответствует нуклеотидной последовательности мышиной вариабельной области легкой цепи антитела согласно настоящему изобретению (mD-A10 Mab с обозначениями FR1, CDR1, FR2, CDR2, FR3 и CDR3 согласно IMGT®, представленными на фиг. 16).

SEQ ID NO: 31 соответствует аминокислотной последовательности мышиной вариабельной области легкой цепи антитела согласно настоящему изобретению (mD-A10 Mab с обозначениями FR1, CDR1, FR2, CDR2, FR3 и CDR3 согласно IMGT®, представленными на фиг. 16).

SEQ ID NO: 32 соответствует нуклеотидной последовательности мышиной вариабельной области тяжелой цепи антитела согласно настоящему изобретению (mD-A10 Mab с обозначениями FR1, CDR1, FR2, CDR2, FR3 и CDR3 согласно IMGT®, представленными на фиг. 17).

SEQ ID NO: 33 соответствует аминокислотной последовательности мышиной вариабельной области тяжелой цепи антитела согласно настоящему изобретению (mD-A10 Mab с обозначениями FR1, CDR1, FR2, CDR2, FR3 и CDR3 согласно IMGT®, представленными на фиг. 17).

В некоторых вариантах осуществления антитело согласно настоящему изобретению представляет собой mD-A10 Mab.

Аминокислотные и нуклеотидные последовательности вариабельных областей легких цепей и тяжелых цепей mD-A10 Mab представлены в табл. 2.

	нуклеотидная послед	цовательность mVL	нуклеотидная последовательность mVH					
D– A10	SEQ ID NO: 30		SEQ ID NO: 32					
	аминокислотная mVL	последовательность	аминокислотная mVH	последовательность				
D– A10	SEQ ID NO: 31		SEQ ID NO: 33					

Антитела или фрагменты антител согласно настоящему изобретению представляют собой предпочтительно гуманизированные антитела или гуманизированные фрагменты антител.

Гуманизированные антитела согласно настоящему изобретению могут содержать

тяжелую цепь, содержащую следующие три CDR, соответственно CDR-H1', CDR-H2' и CDR-H3', где:

CDR-H1' содержит последовательность SEQ ID NO: 40 или последовательность по меньшей мере с 80%-й, предпочтительно 85, 90, 95 и 98%-й идентичностью после оптимального выравнивания последовательности SEQ ID NO: 40; и

CDR-H2' содержит последовательность SEQ ID NO: 41 или последовательность по меньшей мере с 80%-й, предпочтительно 85, 90, 95 и 98%-й идентичностью после оптимального выравнивания последовательности SEQ ID NO: 41; и

CDR-H3' содержит последовательность SEQ ID NO: 39 или последовательность по меньшей мере с 80%-й, предпочтительно 85, 90, 95 и 98%-й идентичностью после оптимального выравнивания последовательности SEQ ID NO: 39; и

легкую цепь, содержащую следующие три CDR, соответственно CDR-L1', CDR-L2' и CDR-L3', где CDR-L1' содержит последовательность SEQ ID NO: 42 или последовательность по меньшей мере с 80%-й, предпочтительно 85, 90, 95 и 98%-й идентичностью после оптимального выравнивания последо-

вательности SEO ID NO: 42; и

CDR-L'2 содержит последовательность SEQ ID NO: 35 или последовательность по меньшей мере с 70%-й, предпочтительно 80, 85, 90, 95 и 98%-й идентичностью после оптимального выравнивания последовательности SEQ ID NO: 35; и

CDR-L'3 содержит последовательность SEQ ID NO: 36 или последовательность по меньшей мере с 80%, предпочтительно 85, 90, 95 и 98%-й идентичностью после оптимального выравнивания последовательности SEQ ID NO: 36.

Последовательности CDR гуманизированных антител согласно настоящему изобретению, в частности Hz-DA-10 Mab, приведены здесь в табл. 3 ниже.

Таблица 3 Последовательности CDR для VH и VL Hz DA-10 Mab

Hochegobarchbhoch Chit Am vii n v E lie hi 10 mao											
	SEQ	Последов-ть по	SEQ	Последовательность по	SEQ	Последов-ть					
	ID	IMGT®	ID Kabat®		ID	(общепринятая					
	NO:	INIOI®	NO:	Kabata	NO:	система нумерации)					
Hz VH D-A10											
CDR1	40	GFTFSSYW	40K	SYWMS	40C	SYW					
CDR2	41	INSDGSST	41K	DINSDGSSTKYAPSIKD	41C	INSDGSST					
CDR3	39	IAHYSGGGFAY	39K	HYSGGGFAY	39C	HYSGGGFAY					
Hz VL D)-A 10										
CDR1	42	KSLLYSNGYNY	42K	RSSKSLLYSNGYNYLY	42C	KSLLYSNGYNY					
CDR2	35	YMS	35K	YMSNLAS	35C	YMS					
CDR3	36	MOSLEYPFT	36K	MOSLEYPFT	36C	MOSLEYPFT					

Гуманизированные антитела согласно настоящему изобретению или фрагменты этих антител могут содержать SEQ ID NO: 43 или последовательность по меньшей мере с 80%-й, предпочтительно 85, 90, 95 и 98%-й идентичностью после оптимального выравнивания последовательности SEQ ID NO: 43, и/или SEQ ID NO: 44 или последовательность по меньшей мере с 80%-ной, предпочтительно 85, 90, 95 и 98%-ной идентичностью после оптимального выравнивания последовательности SEQ ID NO: 44.

Гуманизированные антитела или фрагменты антител согласно настоящему изобретению могут содержать вариабельные области, кодируемые полинуклеотидами, имеющими нуклеотидную последовательность мышиной вариабельной области легкой цепи (SEQ ID NO: 45) или последовательность по меньшей мере с 80%-й, предпочтительно 85, 90, 95 и 98%-й идентичностью после оптимального выравнивания последовательности SEQ ID NO: 45, и/или нуклеотидную последовательность мышиной вариабельной области тяжелой цепи (SEQ ID NO: 46) или последовательность по меньшей мере с 80%-й, предпочтительно 85, 90, 95 и 98%-й идентичностью после оптимального выравнивания последовательности SEQ ID NO: 46.

SEQ ID NO: 45 соответствует нуклеотидной последовательности гуманизированной вариабельной области тяжелой цепи антитела согласно настоящему изобретению (Hz D-A10 Mab с обозначениями FR1, CDR1, FR2, CDR2, FR3 и CDR3 согласно IMGT $^{\otimes}$, представленными на фиг. 18).

SEQ ID NO: 46 соответствует нуклеотидной последовательности гуманизированной вариабельной области легкой цепи антитела согласно настоящему изобретению (Hz D-A10 Mab с обозначениями FR1, CDR1, FR2, CDR2, FR3 и CDR3 согласно IMGT®, представленными на фиг. 18).

SEQ ID NO: 43 соответствует аминокислотной последовательности гуманизированной вариабельной области легкой цепи антитела согласно настоящему изобретению (Hz D-A10 Mab с обозначениями FR1, CDR1, FR2, CDR2, FR3 и CDR3 согласно IMGT®, представленными на фиг. 19).

SEQ ID NO: 44 соответствует аминокислотной последовательности гуманизированной вариабельной области тяжелой цепи антитела согласно настоящему изобретению (Hz D-A10 Mab с обозначениями FR1, CDR1, FR2, CDR2, FR3 и CDR3 согласно IMGT®, представленными на фиг. 19).

Нуклеотидные и аминокислотные последовательности вариабельных областей легкой цепи и тяжелой цепи Hz D-A10 Mab представлены в табл. 4.

Таблица 4 Кодификация последовательностей для CDR VH или CDR VL Hz D-A10 Mab

		нуклеотидная последовательность VL	нуклеотидная последовательность VH				
Hz A10	D-	SEQ ID NO: 46	SEQ ID NO: 45				
		аминокислотная последовательность VL	аминокислотная последовательность VH				
Hz A10	D-	SEQ ID NO: 44	SEQ ID NO: 43				

Фрагмент антитела согласно настоящему изобретению может представлять собой фрагмент $F(ab')_2$, Fab, Fv или ScFv.

Антитела или фрагменты антител согласно настоящему изобретению эффективно ингибируют инвазивную способность опухолевых клеток in vitro и эффективно ингибируют рост опухоли in vivo. В частности, авторы изобретения показали, что mD-A10 Mab эффективно ингибирует инвазивную способность клеток Isreco-1 in vitro (фиг. 4) и эффективно ингибирует рост опухолевых клеток Isreco 1 и HCT116 у мышей (фиг. 7-10). В частности, авторы изобретения показали, что mD-A10 Mab ингибирует

инвазивную способность клеток Isreco-1 in vitro, тогда как антитело mD-D6 не имеет эффекта. Эта антагонистическая активность также наблюдалась у антитела M20 (фиг. 4). In vivo только антитело mD-A10 или M20 также контролирует рост опухоли.

Во время апоптоза клетки подвергаются значительным изменениям в морфологии, отчасти вследствие полной реорганизации их цитоплазматических и ядерных цитоскелетных структур. Этот процесс разрушения хорошо скоординирован и включает постепенную активацию каспаз. Некоторые из цитоскелетных компонентов сохраняют функцию во время различных стадий апоптоза и поэтому являются только деассемблированными на более поздних стадиях процесса. Так как во время раннего апоптоза прокаспазы-3 и -9 являются специфически нацеленными на сеть промежуточных микрофиламентов СК8/18, это может объяснять быстрое разрушение цитокератинового каркаса во время апоптоза.

Авторы изобретения показали, что антитело mD-A10 или M20 проявляет эффект против роста опухоли посредством другого молекулярного механизма. Активацию каспазы 3, которая указывает на эффективность апоптоза, анализировали в опухолях, полученных у мышей, не подвергнутых лечению (NT), и у мышей, подвергнутых лечению mD-A10, M20 или mD-D6. Опухоли, анализируемые в этом эксперименте, представляли собой опухоли, которые были получены и подвергнуты анализу в эксперименте, представленном на фиг. 7. В конце периода лечения (53 дня) опухоли собирали, фиксировали в забуференном формалине и заливали в парафин. Срезы тканей подвергали иммуногистохимическим анализам с использованием кроличьих моноклональных антител против расщепленной формы каспазы-3 (фиг. 6В). Для каждой опухоли подсчитывали число клеток, позитивных по активированной каспазе-3, на поверхности площадью 2 мм². Как показано на фиг. 6А, число клеток, позитивных по активированной каспазе-3 значительно более высокое в опухолях от животных, получавших mD-A10 Mab, по сравнению с животными, не подвергнутыми лечению, и животными, получавшими M20 или mD-D6.

Этот результат ясно показывает, что mD-A10 Mab способно индуцировать расщепление каспазы-3, связанное с апоптозом Isreco-1 in vivo, тогда как M20 и mD-D6 не проявляют этой способности. Эти результаты демонстрируют, что M20 и mD-A10 Mab проявляют свой эффект против роста опухоли посредством особого механизма. Механизм действия mD-A10 Mab основан на индукции апоптоза посредством расщепления каспазой-3. Схожего эффекта в присутствии M20 не наблюдалось.

Таким образом, в некоторых аспектах настоящее изобретение относится к антителу или фрагменту антитела, проявляющему специфическую агонистическую активность в отношении зависимого от каспазы-3 клеточного апоптоза и специфическую антагонистическую активность в отношении клеточной инвазии. Таким образом, это может быть использовано для лечения заболеваний, в которые вовлечен СК8.

Несмотря на то, что оба mD-A10 Mab и M20 распознают человеческий белок СК8 и обладают антагонистическими свойствами, было показано, что mD-A10 Mab и M20 не распознают один и тот же эпитоп (фиг. 2, 3, 12). В действительности, М20 специфически распознает пептиды, имеющие последовательность, соответствующую аминокислотам в положениях с 338 по 366 человеческого СК8 (SEQ ID NO: 1) или в положениях с 345 по 366 человеческого СК8 (SEQ ID NO: 17), но не детектирует пептиды, имеющие последовательность, соответствующую аминокислотам в положениях с 338 по 357 человеческого белка СК8 (SEQ ID NO: 2), или последовательность, соответствующую аминокислотам в положениях с 358 по 366 человеческого белка СК8 (SEO ID NO: 3), или последовательность, соответствующую аминокислотам в положении с 354 по 366 человеческого белка СК8 (SEQ ID NO: 4), тогда как mD-A10 распознает пептид, имеющий последовательность, соответствующую аминокислотам в положении с 338 по 366 человеческого СК8 (SEQ ID NO: 1), пептид, имеющий последовательность, соответствующую аминокислотам в положении с 354 по 366 человеческого СК8 (SEQ ID NO: 4), или пептид, имеющий последовательность, соответствующую аминокислотам в положении с 345 по 366 человеческого СК8 (SEQ ID NO: 17), и не детектирует пептиды, имеющие последовательность, соответствующую аминокислотам в положении с 338 по 357 человеческого СК8 (SEQ ID NO: 2), или последовательность, соответствующую аминокислотам в положении с 358 по 366 человеческого СК8 (SEQ ID NO: 3) (фиг. 12).

Кроме того, детекция с использованием проточной цитометрии (фиг. 2) или вестерн-блоттинга (фиг. 3) изоформ человеческого белка СК8 с помощью антитела М20 не ингибируется ни пептидом, имеющим последовательность, соответствующую аминокислотам в положении с 338 по 366 человеческого СК8 (SEQ ID NO: 1), ни пептидом, имеющим последовательность, соответствующую аминокислотам в положении с 338 по 357 человеческого СК8 (SEQ ID NO: 2), тогда как детекция изоформ человеческого СК8 с помощью mD-A10 Mab сильно ингибируется пептидом, имеющим последовательность согласно SEQ ID NO: 1, но не пептидом, имеющим последовательность согласно SEQ ID NO: 2, и детекция MAb D-D6 ингибируется обоими пептидами, имеющими последовательность согласно SEQ ID NO: 1 и SEQ ID NO: 2.

Расположение пептидов (SEQ ID NO: 1), 2 (SEQ ID NO: 2), 3 (SEQ ID NO: 3) и 4 (SEQ ID NO: 4) в последовательности человеческого цитокератина-8 (ref.: Uni-ProtKB P05787) представлено на фиг. 11.

На фиг. 13A описывает реактивность mD-A10 Mab в отношении анти-CK8 пептидов, ограниченных на N- и C-концах (пептид 1, пептид с 5 по 28, SEQ ID NO: 1, SEQ ID NO: 5 - SEQ ID NO: 28). Антитело mD-A10 Mab связывается с пептидами 1, 5, 11-23.

Лейцин в положении 353 пептида 11 является важным для распознавания антителом. Фактически,

связывание mD-A10 Mab с пептидом 10 почти отсутствует по сравнению с пептидом 11. Лейцин в положении 360 пептида 23 является важным для распознавания антителом. Фактически, связывание mD-A10 Mab с пептидом 24 почти отсутствует по сравнению с пептидом 23. Важное присутствие лейцинов в положениях 353 и 360 последовательности эпитопа подтверждается неконкурентностью пептидов 10 (SEQ ID NO: 10) и 24 (SEQ ID NO: 24) в отношении распознавания mD-A10 Mab по данным ELISA (фиг. 14 и 15), когда указанная конкуренция осуществляется с BSA-конъюгированным пептидом 1 или пептидом 17 соответственно. Эпитоп, распознаваемый mD-A10 Mab, разработан, таким образом, в виде последовательности из 8-ми аминокислот "LSELEAAL", соответствующей аминокислотам в положениях с 353 по 360 (SEQ ID NO: 29). Как показано на фиг. 13В наблюдается профиль M20, отличающийся от mD-A10 Mab. Напротив, очевидно, что антитело M20 не распознает эпитоп "LSELEAAL".

В табл. 8 представлен набор аминокислотных последовательностей, а также распознавание, или низкое распознавание, или отсутствие распознавания пептидов с 5 по 28 (с SEQ ID NO: 5 по SEQ ID NO: 28) антителом mD-A10 Mab.

Также настоящее изобретение относится к антителу или фрагменту антитела, специфически связывающемуся с пептидом, имеющим последовательность, соответствующую аминокислотам в положениях с 353 по 360 человеческого белка СК8, то есть специфически связывающемуся с пептидом, имеющим последовательность, показанную в SEQ ID NO: 29, для применения в лечении опухолей, клетки которых экспрессируют на своей поверхности белок СК8, в частности клетки, которые экспрессируют на своей поверхности пептид с последовательностью согласно SEQ ID NO: 29. Антитело или фрагменты антител могут быть такими, как описано выше.

В частности, антитело или фрагменты антител согласно настоящему изобретению можно применять для лечения колоректального рака, рака яичников, рака молочной железы, рака легких, рака яичка, рака поджелудочной железы, рака нервной системы, рака лимфатических узлов, рака почек и/или рака головы и шеи. Колоректальный рак, рак яичников, рак молочной железы, рак легких, рак яичка, рак поджелудочной железы, рак нервной системы, рак лимфатических узлов, рак почек и/или рак головы и шеи характеризуются присутствием опухолевых клеток, экспрессирующих на своей поверхности белок СК8. В частности, антитела или фрагменты антител согласно настоящему изобретению можно применять для лечения инвазивного и/или метастатического колоректального рака, рака яичников, рака молочной железы, рака легких, рака яичка, рака поджелудочной железы, рака нервной системы, рака лимфатических узлов, рака почек и/или рака головы и шеи.

Предпочтительно антитела или фрагменты антитела, применяющиеся терапевтически, представляют собой гуманизированные антитела.

Пептиды и их применение.

Изобретение также относится к антигенному пептиду человеческого СК8, состоящему из полипептида, имеющего от 8 до 16 аминокислот и содержащего последовательность, представленную в SEQ ID NO: 29. В частности, изобретение относится антигенному пептиду человеческого СК8, состоящему из последовательности согласно SEQ ID NO: 29.

Такой пептид можно применять в качестве терапевтического агента, в частности, в вакцине.

Изобретение также относится к набору, включающему контейнер, содержащий молекулу, специфически связывающуюся с указанным пептидом. Набор, в частности, можно применять для обнаружения рака, в частности рака, характеризующегося присутствием опухолевых клеток, экспрессирующих на своей поверхности белок СК8, например, таких, которые описаны выше.

Полинуклеотиды.

Изобретение также относится к полинуклеотидам, кодирующим пептид, полученный из человеческого СК8, имеющий последовательность, соответствующую аминокислотам в положениях с 353 по 360 человеческого белка СК8 (SEQ ID NO: 29). Предпочтительно полинуклеотиды согласно изобретению относятся к ДНК-типу, в частности типу двухцепочечной ДНК. Термин "полинуклеотид" также относится к модифицированным полинуклеотидам.

Полинуклеотиды согласно настоящему изобретению выделяют или очищают из их природного окружения. Предпочтительно полинуклеотиды согласно настоящему изобретению получают с помощью общепринятых методов молекулярной биологии, описанных Sambrook et al. (Molecular Cloning: A Laboratory Manual, 1989), или путем химического синтеза.

Изобретение также относится к полинуклеотидам, кодирующим вариабельные области mD-A10 Mab, имеющим нуклеотидную последовательность мышиной вариабельной области легкой цепи (SEQ ID NO: 30) и нуклеотидную последовательность мышиной вариабельной области тяжелой цепи (SEQ ID NO: 32). Таким образом, настоящее изобретение также относится к полинуклеотидам, которые включают одну из следующих последовательностей: SEQ ID NO: 30, SEQ ID NO: 32 или последовательности по меньшей мере с 80%-й, предпочтительно 85, 90, 95 и 98%-й идентичностью после оптимального выравнивания последовательности SEQ ID NO: 30 или SEQ ID NO: 32.

Изобретение также относится к полинуклеотидам, кодирующим вариабельные области Hz DA-10 Mab, имеющим нуклеотидную последовательность гуманизированной вариабельной области легкой цепи (SEQ ID NO: 46) и нуклеотидную последовательность гуманизированной вариабельной области тяжелой

цепи (SEQ ID NO: 45). Таким образом, настоящее изобретение также относится к полинуклеотидам, которые включают одну из следующих последовательностей: SEQ ID NO: 45, SEQ ID NO: 46 или последовательности по меньшей мере с 80%-й, предпочтительно 85, 90, 95 и 98%-й идентичностью после оптимального выравнивания последовательности SEQ ID NO: 45 или SEQ ID NO: 46.

Фармацевтические композиции.

Изобретение также относится к фармацевтической композиции или набору, содержащему антитело или фрагменты антитела согласно настоящему изобретению. Антитело или фрагменты антитела могут быть такими, как описано выше. В частности, антитело или фрагмент антитела представляет собой Fv, Fab, F(ab')2, scFv, антитело, предпочтительно моноклональное антитело.

Фармацевтические композиции могут содержать антитело или фрагмент антитела и подходящий фармацевтический носитель. Примеры подходящего фармацевтического носителя включают растворители, желатин, крахмал, лактозу, стеарат магния, тальк, аравийскую камедь или аналоги. Композиции могут, кроме того, содержать диспергирующие агенты, смачивающие агенты, суспендирующие агенты, солюбилизаторы, стабилизаторы, консерванты, усилители вкуса и/или подсластители.

Набор может включать контейнер, содержащий антитело или фрагменты антитела согласно настоящему изобретению.

Набор, в частности, может быть использован для обнаружения рака, в частности рака, характеризующегося присутствием опухолевых клеток, экспрессирующих на своей поверхности белок СК8, таких, как описанные выше.

Композиции могут быть составлены для введения млекопитающим, в частности человеку. Они могут быть составлены для перорального, сублингвального, подкожного, внутримышечного, внутривенного, трансдермального, местного или ректального введения. Таким образом, композиции могут быть обеспечены во всех подходящих формах в зависимости от желательных способов введения. Таким образом, они могут быть представлены в форме перорального или инъецируемого раствора или жидкой суспензии, или в твердой или полутвердой форме, в форме порошков, таблеток, мягких капсул, гранул, таблеток с сахарной оболочкой, твердых капсул, спреев, саше, пилюль, пластинок или паст. Доза варьирует в зависимости от терапии и заболевания, подлежащего лечению.

Композиции или наборы, кроме того, могут содержать еще одно антитело и/или еще одно противораковое лекарственное средство.

Изобретение также относится к фармацевтической композиции согласно изобретению, предназначенной для применения в лечении или предупреждении рака, аутоиммунного заболевания, воспалительного состояния, вирусной инфекции или вирусного заболевания и/или в качестве лекарственного средства для индукции апоптоза опухолевой клетки.

Также изобретение относится к способу лечения или предупреждения рака, аутоиммунного заболевания, воспалительного состояния, вирусной инфекции или вирусного заболевания и/или способу индукции апоптоза опухолевой клетки, включающему введение млекопитающему, включая человека, эффективного количества антитела или фрагмента антитела согласно настоящему изобретению.

Рак, в частности, характеризуется присутствием опухолевых клеток, экспрессирующих на своей поверхности белок СК8, таких, как описанные выше.

Изобретение также относится к композициям вакцин, содержащим пептид согласно настоящему изобретению и подходящий адъювант. В вакцинах адъюванты определяются как вещества, способные потенцировать или модулировать иммунный ответ против одного или нескольких совместно вводимых антигенов. Вакцины обычно вводят путем инъекции, но могут быть введены перорально или путем назального распыления.

Изобретение относится к фармацевтическим или вакцинным композициям для предупреждения и/или лечения опухолей, клетки которых экспрессируют белок СК8 на своей поверхности, в частности, колоректального рака, рака яичников, рака молочной железы, рака легких, рака яичка, рака поджелудочной железы, рака нервной системы, рака лимфатических узлов, рака почек и/или рака головы и шеи.

Изобретение также относится к способам терапевтического лечения и/или предупреждения опухолей, клетки которых экспрессируют на своей поверхности белок СК8, в частности, колоректального рака, рака яичников, рака молочной железы, рака легких, рака яичка, рака поджелудочной железы, рака нервной системы, рака лимфатических узлов, рака почек и/или рака головы и шеи, включающим введение индивидууму, нуждающемуся в этом, эффективного количества антитела или фрагмента антитела согласно настоящему изобретению. Изобретение относится к способам лечения рака посредством индукции гибели СК8-экспрессирующих раковых клеток, в частности, путем индукции апоптоза экспрессирующих СК8 раковых клеток путем введения индивидууму, нуждающемуся в этом, эффективного количества антитела или фрагмента антитела согласно настоящему изобретению. Антитело или фрагмент антитела может быть таким, как описано выше.

Изобретение относится к применению антител или фрагмента антитела согласно настоящему изобретению для изготовления лекарственного средства, предназначенного для лечения или предупреждения развития опухолей, клетки которых экспрессируют на своей поверхности белок СК8, в частности, колоректального рака, рака яичников, рака молочной железы, рака легких, рака яичка, рака поджелудоч-

ной железы, рака нервной системы, рака лимфатических узлов, рака почек и/или рака головы и шеи.

Примеры.

Антитело M20, на которое делается обращение ниже, представляет собой коммерчески доступное антитело C5301 (Sigma), и антитело 1E8 представляет собой коммерчески доступное антитело ab28050 (abcam).

Получение анти-СК8 антитела.

Мышиные моноклональные антитела, специфические в отношении СК8, получали с использованием стандартных гибридомных технологий (Zola et al., Aust J. Exp Biol Med Sci. 1981; 59:303-6). Синтезировали два пептида СК8, которые использовали для иммунизации мышей. Последовательности пептидов представляют собой следующие:

Пептид 1: AEQRGELAIKDANAKLSELEAALQRAKQD-C (SEQ ID NO: 1)

Пептид 2: AEQRGELAIKDANAKLSELE-C (SEQ ID NO: 2)

Иммунизацию выполняли на трех мышах OF1 с использованием смеси пептидов 1 и 2, конъюгированных с гемоцианином морского блюдечка (КLH). Были отобраны селезенки мышей, сыворотка которых была позитивной в отношении СК8 по результатам детекции методом ELISA. Спленоциты подвергали слиянию с мышиной линией клеток миеломы X63-Ag8.653. Супернатанты гибридом подвергали скринингу на связывание с СК8 с помощью ELISA и иммунофлуоресцентного окрашивания клеток на СК8-позитивные клеточные линии. После клонирования гибридом получали два мышиных антитела (Маbs), названных mD-A10 и mD-D6. Клон D-A10 или D-D6 инъецировали в перитонеальную полость безтимусных мышей. Асцитическую жидкость очищали аффинной хроматографией на колонке с белком A, а затем IgG элюировали при кислом pH, после чего переносили в PBS. После концентрирования раствор PBS, содержащий IgG, фильтровали, и концентрацию Mab определяли при длине волны 280 нм.

Клеточные линии.

Клетки верифицированного рака толстой кишки человека (СС) Isreco-1, Isreco-2, Isreco-3, HCT116+/+, HCT116-/- или HT29 (СLВ) выращивали в среде Игла, модифицированной по способу Дульбекко (Sigma, St Quentin Fallavier, France), дополненной инактивированной нагреванием 10%-й фетальной бычьей сывороткой (FBS) (Sigma, St Quentin Fallavier, France), 4 нМ L-глутамина (Sigma, St Quentin Fallavier, France).

Клетки верифицированной аденокарциномы молочной железы человека МСF-7 (ATCC) выращивали в минимальной эссенциальной среде Игла (Sigma, St Quentin Fallavier, France), дополненной инактивированной нагреванием 10%-й фетальной бычьей сывороткой (FBS), (Sigma, St Quentin Fallavier, France), 2 нМ L-глутамина (Sigma, St Quentin Fallavier, France) и 100 ед./мл, 100 мкг/мл пенициллинастрептомицина (Sigma, St Quentin Fallavier, France).

Лейкозные клетки верифицированного человеческого лейкоза из В-клеток-предшественников Nalm-6 (DSMZ), клетки лимфомы Беркитта человека Raji (ECACC), неходжкинской лимфомы человека RL (DSMZ), гистиоцитарной лимфомы U937 (ECACC), клетки острого лимфобластного лейкоза человека Cem (DSMZ), лейкозные клетки верифицированного острого лимфобластного лейкоза человека Molt4 (DSMZ), человеческие плазматические клетки Fravel (ECACC) выращивали в среде RPMI-1640 (Sigma, St Quentin Fallavier, France), дополненной инактивированной нагреванием 10%-й фетальной бычьей сывороткой (FBS), (Sigma, St Quentin Fallavier, France), 4 нМ L-глутамина (Sigma, St Quentin Fallavier, France) и 100 ед./мл, 100 мкг/мл пенициллина-стрептомицина (Sigma, St Quentin Fallavier, France).

Мечение клеток антителами, анализируемое с помощью проточной цитометрии.

Клеточную экспрессию СК8 на клеточной поверхности анализировали с помощью проточной цитометрии. Вкратце, 2×10^5 клеток на 96-лунок инкубировали с разведением неконъюгированного анти-СК8 мышиного Мав при 10 мкг/мл, затем разбавляли в соотношении 1/10. Несвязанные антитела удаляли, осуществляя промывку с помощью PBS (Invitrogen, Villebon sur Yvette, France), дополненным 1%-м бычьим сывороточным альбумином (Sigma, St Quentin Fallavier, France). Затем клетки центрифугировали (5 мин при 400 г) и связанное антитело детектировали с помощью флуоресцеинизотиоцианат (FITC)-конъюгированного козьего (Fab') $_2$ поликлонального антимышиного антитела (MP Biomedical, Illkirch, France) при 4°C в течение 30 мин. Реагент для детекции удаляли путем промывания и клетки центрифугировали (5 мин при 400 г) и суспендировали в 300 мкл PBS. Связанное детектируемое антитело количественно оценивали на FACS CAN (BD Biosciences, Rungis, France), (канал FL1, 2000 событий на запрашивание).

Результаты экспериментов показаны в табл. 5 с концентрацией MAb 5 мкг/мл. Различные раковые клеточные линии, такие как клеточные линии рака толстой кишки или молочной железы, экспрессировали CK8. Экспрессии не наблюдалось в клетках лимфомы или лейкоза.

Таблина 5

Клеточная реактивность МАb на линиях клеток человека

Название	Тип линии	1	E8	M	20	D-	-D6	D-A10		
линии клеток	клеток	%	IFM	%	IFM	%	IFM	%	IFM	
ISRECO-1	Карцинома толстой кишки человека	45+/-18	562+/-144	50+/-11	553+/-69	50+/-7	421+/-32	47+/-7	421+/-46	
ISRECO-2	Карцинома толстой кишки человека	23+/-0	424+/-28	26+/-0	473+/-30	44+/-26	317+/80	43+/-27	323+/-89	
ISRECO-3	Карцинома толстой кишки человека	41+/-6	402+/-105	33+/-6	541+/-13	43+/-3	340+/-40	42+/-4	351+/-21	
HCT116+/+	Карцинома толстой кишки человека	35+/-14	554+/-62	29+/-11	527+/-64	44+/-19	356+/-1	36+/-21	396+/-16	
HCT116-/-	Карцинома толстой кишки человека	38+/-11	530+/-52	28+/-10	517+/-59	32+/-6	385+/-13	33+/-2	411+/-11	
HT29	Аденокарцинома толстой кишки человека	30+/-7	418+/-11	17+/-9	497+/-52	28+/-13	365+/-15	27+/-13	361+/-3	
MCF-7	Карцинома молочной железы	52+/-1	462+/-1	66+/-17	476+/-10	51+/-23	388+/-13	50+/-23	397+/-30	
Nalm6	Лейкоз человека из В-клеток- предшественников	0+/0	-	0+/-0	-	0+/0	-	0+/-0	-	
Rajl	Лимфома Беркитта человека	0+/0	-	0+/-0	-	0+/0	-	0+/-0	-	
RL	Неходжкинская лимфома из В- клеток человека	0+/0	-	0+/-0	-	0+/0	-	0+/-0	-	
U937	Гистиоцитарная лимфома человека	0+/-0	-	0+/-0	-	0+/-0	-	0+/-0	-	
Cem	Острый лимфобластный лейкоз человека	0+/-0	-	0+/-0	-	0+/-0	-	0+/-0	-	
Molt4	Острый лимфобластный лейкоз человека	0+/-0	-	0+/-0	-	0+/-0	-	0+/-0	-	
Fravel	Плазматические клетки человека	0+/0	-	0+/-0	-	0+/0	-	0+/-0	-	
PBMNC	Лимфоциты	0+/-0	-	0+/-0	-	0+/-0	-	0+/-0	-	

Эксперименты по конкурентному связыванию Мав с помощью проточной цитометрии.

2×10⁵ клеток Isreco-1 на 96-лунок инкубировали с биотинилированным анти-СК8 антителом (12,5 мкг/мл) с пептидом 1 или пептидом 2, или без них, тестируемых при различных концентрациях, и инкубировали при 4°С в течение 30 мин. Несвязанные антитела удаляли, осуществляя промывку с помощью PBS (Invitrogen, Villebon sur Yvette, France), дополненного 1%-м бычьим сывороточным альбумином (Sigma, St Quentin Fallavier, France). Затем клетки центрифугировали (5 мин при 400 г) и связанные антитела детектировали с помощью фикоэритрин-конъюгированного стрептавидина (Interchim, Montlucon, France) при 4°С в течение 30 мин. Реагент для детекции удаляли путем промывки и клетки центрифугировали (5 мин при 400 г) и суспендировали в 300 мкл PBS. Связанное детектируемое антитело количественно оценивали на FACS CAN (ВD Віоsсіенсеs, Rungis, France), (FL2 канал, 2 000 событий на запрашивание). Во время эксперимента включали соответствующие контроли изотипа для исключения любых событий неспецифического связывания. Результаты экспериментов показаны на фиг. 2. Присутствие пептида 1 ингибирует мечение клеток антителом mD-D6 или mD-A10 Мав без какого-либо значительного воздействия на окрашивание клеток M20 Мав.

Детекция изоформ белка СК8 с помощью вестерн-блоттинга.

Различные изоформы, а также их установленные молекулярные массы (кДа) и соответствующие аминокислотные последовательности, показаны в табл. 6.

Описание различных изоформ СКЯ

Таблина 6

Описание различных изоформ СКо											
Белковые формы СК8	Предполагаемая ММ	Соответствующая									
	(кДа)	последовательность (АА)									
Е' (более длинная форма, N-	57	1-511									
концевые удлинения)											
Е (полная)	54	1-483									
I (неопределенная)	51, 49, 48, 47, 46	?									
С (расщепленная на С-конце)	43	Предполагаемая									
		1-393									

 ${\rm E}$ - полная форма CK8, I - неопределенная изоформа CK8, C - укороченная с C-конца изоформа CK8.

В экспериментах, проводимых с помощью вестерн-блоттинга (WB), 5 мкг белков из лизата клеток колоректального рака разделяли с помощью SDS-PAGE и переносили на нитроцеллюлозную мембрану. Мембрану насыщали раствором TBS-T (Tris-HCl 20 мМ, рН 7, NaCl 130 мМ, Tween 20 при 0,1%), содержащим 5% молока, затем инкубировали с различными анти-СК8 антителами, разбавленными в растворе TBS-T, содержащем 2,5% молока. Антитела M20 (50 мкг/мл), 1E8 (1/500), mD-A10 (1 мкг/мл) или mD-D6 (1 мкг/мл) инкубировали в течение 1 ч при комнатной температуре с мембраной. Первичные антитела выявляли с помощью антимышиного вторичного антитела, конъюгированного с пероксидазой хрена (HRP) (аb97040), (Abcam, France). Результаты показаны на фиг. 1. Изоформы белка СК8 детектировали по-разному в зависимости от тестируемого анти-СК8 антитела. Полноразмерную форму белка СК8 (СК8-E) детектировали с использованием всех антител. Укороченную с С-конца форму белка СК8 (СК8-C) детектировали в высокой степени только с помощью антитела mD-A10 и в слабой степени с помощью антитела M20. Антитело 1E8 или mD-D6 Маb не распознает форму СК8-С. Эти результаты ясно демон-

стрируют, что mD-A10 Mab проявляет специфический профиль реактивности против различных изоформ CK8 по сравнению с другими тестируемыми антителами против CK8.

Конкурентный вестерн-блот-анализ с пептидами СК8.

Для проведения экспериментов по конкурентному связыванию антитело M20 (1 мкг/мл) или мышиные моноклональные антитела, такие как mD-A10 (1 мкг/мл) или mD-D6 (1 мкг/мл), предварительно инкубировали в течение 2 ч при комнатной температуре с пептидом 1 или пептидом 2 при молекулярном соотношении 1/100 (одна молекула антитела на 100 молекул пептида) в растворе TBS-T. Затем смесь антитело-пептид приводили в контакт с мембранами в растворе TBS-T, содержащем 2,5% молока, в течение 1 ч для детекции с помощью антимышиного вторичного антитела, связанного с HRP. Результаты показаны на фиг. 3. Присутствие пептида 2 уменьшает распознавание всех изоформ СК8 антителом mD-D6 Mab и не препятствует распознаванию изоформ СК8 антителом M20 и антителом mD-A10 Mab. Напротив, присутствие пептида 1 сильно уменьшает распознавание всех изоформ СК8 антителами mD-A10 и mD-D6 Mabs, при этом не препятствует распознаванию изоформ СК8 антителом M20.

Эффект мышиного моноклонального антитела D-A10 на инвазивные способности клеток колоректального рака Isreco-1: анализ in cellulo инвазивных способностей раковых клеток путем измерения в режиме реального времени импеданса клеток (система xCELLigence-ACEA BiosciencesTM).

Прибор для измерения в режиме реального времени xCELLigence (ACEA Biosciences™) основан на величине импеданса, которая пропорциональна фиксации клеток на микроэлектродах. Систему использовали для оценки инвазивных способностей клеток в системе RTCA DP. В этой системе используются планшеты СІМ, содержащие 16 лунок. Лунки состоят из нижней и верхней камер. Верхняя камера соединяется с нижней камерой посредством пор с диаметром 8 мкМ, которые расположены над микроэлектродами. При оценке инвазивных способностей клеток Isreco-1 нижняя камера содержит культуральную среду, дополненную 10%-й фетальной бычьей сывороткой (FBS). Клетки Isreco-1 (20 000 клеток) в присутствии культуральной среды без FBS помещали в верхнюю камеру, содержащую или не содержащую анти-СК8 антитело (M20, mD-A10 или mD-D6 при 50 мкг/мл). Дно этой верхней камеры предварительно покрывали слоем матригеля (MatrigelTM, BD biosciences). Во время инвазивного процесса клетки притягивались градиентом FBS, установившимся между нижней и верхней камерами, разложение матригеля позволяло клеткам мигрировать через поры и контактировать с микроэлектродами нижней камеры. Показатель импеданса, генерированного клеточным контактом, измеряли каждые 15 мин в течение 70 ч и записывали с помощью компьютера, соединенного с системой RTCA DP. Результаты тестирования инвазивных способностей клеток представлены на фиг. 4. Процент ингибирования инвазивных способностей клеток Isreco-1 представлен со стандартным отклонением, соответствующим 3 независимым экспериментам. Значительное ингибирование инициированных FBS инвазивных способностей клеток Isreco-1 наблюдали в присутствии антитела M20 или mD-A10, при этом какое-либо воздействие в присутствии mD-D6 отсутствовало.

Анализ на жизнеспособность клеток путем измерения уровней аденозинтрифосфата (АТР).

Люминесцентный анализ жизнеспособности клеток CellTiter-Glo® (Promega, Charbonniéres les Bains, France) использовали для определения количества жизнеспособных клеток в культуре на основе количественной оценки присутствующего АТР в качестве индикатора метаболически активных клеток. Детекция основана на использовании реакции фермента люциферазы для измерения содержания АТР, которое соответствует количеству жизнеспособных клеток. Через несколько минут после утраты целостности мембраны клетки утрачивали способность синтезировать АТР и эндогенные АТФазы разрушали любой оставшийся АТР; таким образом, уровни АТР стремительно падали. Клеточные культуры (5×10⁴ клеток/мл) инкубировали в течение 72 ч отдельно или в присутствии антител (В-Z1, В-Е4, М20, 1Е8, D-D6, D-A10), тестировали при 10 мкг/мл, а затем разбавляли в соотношении 1/10 (фиг. 5). Контроль изотипа Маbs (IgG1-B-Z1, IgG2a-B-E4) получали от фирмы Diaclone (Besancon, France). Реагент CellTiter-Glo® добавляли непосредственно в клетки, содержащиеся в культуре, в соотношении 50 мкл реагента к 200 мкл культуральной среды. Аналитические планшеты инкубировали при комнатной температуре в течение 10 мин и биолюминесцентный сигнал записывали с помощью стандартного мультилуночного флуориметра Mithras LB940 (Berthold, Thoiry, France). Результаты показаны на фиг. 5. Только антитело Маb 1Е8 против СК8 ингибирует пролиферацию клеток Isreco-1.

Количественное определение накопления клеток, позитивных по активированной каспазе-3, в ксенотрансплантате опухоли Isreco-1 путем иммуногистохимического окрашивания.

Ткани изолировали из ксенотрансплантатов опухолей Isreco-1 мышей, подвергнутых или не подвергнутых лечению антителом Мав при 30 мг/кг. Оценивали эффективность антитела М20, mD-A10 или mD-D6 в отношении индукции активации каспазы-3. Для окрашивания образцы тканей фиксировали в 10%-м забуференном формалине и заливали в парафин. Из тканей, фиксированных формалином и залитых в парафин, делали срезы толщиной 4 мкм в соответствии с общепринятыми процедурами. Иммуногистохимический анализ проводили на автоматическом иммуностейнере (Ventana Discovery XT, Roche, Meylan, France) с использованием набора DABmap Kit согласно инструкциям производителя. После проведения процедур демаскировки с помощью буфера Cell Conditioning 1 (CC1) срезы инкубировали с кро-

личьим моноклональным антителом к расщепленной форме каспазы-3 (разведение 1:200, клон 5A1E, сигнальная система клетки). Окрашивание визуализировали с помощью раствора DAB, содержащего 3,3'-диаминобензидин, в качестве хромогенного субстрата. В заключение, срезы контрокрашивали гематоксилином Gill. Количество клеток на мм², позитивных по активированной каспазе-3, определяли с помощью программного обеспечения Histolab, соединенного с камерой, после визуализации с помощью микроскопа. Для каждой опухоли подсчет количества клеток, позитивных по активированной каспазе-3, осуществляли на поверхности площадью 2 мм². Из анализа исключали некротическую область опухоли и фиброзную капсулу. На фиг. 6А показаны результаты определения количества клеток, позитивных по активированной каспазе-3. Количество клеток, позитивных по активированной каспазе-3, показано со стандартным отклонением, соответствующим трем мышам на группу. На фиг. 6В показан пример иммуногистохимического анализа для толстых срезов тканей, полученных от не подвергнутых лечению животных и животных, подвергнутых лечению антителами mD-A10 Mab, M20 и mD-D6 Mabs. Как видно на фиг. 6А, количество клеток, позитивных по активированной каспазе-3, значительно более высокое в опухолях от животных, получавших антитело mD-A10 Mab, по сравнению с необработанными животными. Значительного эффекта не наблюдалось у животных, получавших антитело M20 или mD-D6 Mabs. Этот результат четко показывает, что антитело mD-A10 Mab способно индуцировать апоптоз, связанный с активацией каспазы-3 в клетках Isreco-1 in vivo, тогда как антитело M20 или mD-D6 Mab не инициирует расщепление каспазой. Эти результаты демонстрируют, что М20 и mD-A10 проявляют свой эффект против роста опухолей посредством особого механизма. Антитело mD-A10 Mab определяется как агонистическое Маь, зависящее от запускаемого каспазой-3 индукции апоптоза, тогда как М20 Маь не зависит от

Эффект анти-СК8 антитела на рост опухолевых клеток Isreco-1 колоректального рака, подкожно имплантированных мышам.

Клетки Isreco-1 (10×10^6) подкожно инъецировали 12 мышам SCID CB17. Через 15 дней опухоли достигали объема 100-150 мм³. В этот момент мышей разделяли на 4 группы по 3 мыши. Каждая группа получала или не получала специфическое лечение путем интраперитонеальной инъекции, выполняемой на противоположной от опухоли стороне. Один раз в неделю в течение 4 недель (дни 15, 22, 29 и 36) мыши получали или не получали инъекцию 30 мкг/кг антитела M20, mD-A10 Mab или mD-D6 (фиг. 7). У каждой мыши два раза в неделю измеряли объем опухоли на протяжении эксперимента. На графике показан средний объем опухоли в каждой группе мышей со стандартным отклонением, соответствующим трем мышам на группу. Как показано на фиг. 7, антитело M20 или mD-A10 ингибировало рост клеток Isreco-1 колоректального рака, подкожно имплантированных мышам, тогда как mD-D6 не контролировало развитие опухоли.

Дозозависимый эффект mD-A10 Mab на рост опухолевых клеток Isreco-1 колоректального рака, подкожно имплантированных мышам.

Фрагменты опухоли Isreco-1, полученной из клеток Isreco-1 колоректального рака, имплантировали подкожно 18 мышам SCID CB17. Через 15 дней опухоли достигали объема 100-150 мм³. В этот момент мышей разделяли на шесть групп по 3 мыши. Каждая группа получала или не получала специфическое лечение путем интраперитонеальной инъекции, выполняемой на противоположной от опухоли стороне. Один раз в неделю в течение 4 недель (дни 15, 22, 29 и 36) мыши получали или не получали инъекцию 1, 3, 10, 30 или 60 мг/кг mD-A10 Mab. У каждой мыши два раза в неделю измеряли объем опухоли на протяжении эксперимента. На графике показан средний объем опухоли в каждой группе мышей со стандартным отклонением, соответствующим трем мышам на группу. Результаты представлены на фиг. 8. Ингибирование роста клеток Isreco-1 колоректального рака, подкожно имплантированных мышам, наблюдалось даже при самой низкой концентрации Mab, составляющей 1 мг/кг.

Эффект mD-A10 Mab на рост опухолевых клеток колоректального рака HCT116, подкожно имплантированных мышам.

Клетки HCT116 (10×10⁶) подкожно инъецировали 12 мышам SCID CB17. Через 6 дней опухоли достигали объема 100-150 мм³. В этот момент мышей разделяли на четыре группы по три мыши. Каждая группа получала или не получала специфическое лечение путем интраперитонеальной инъекции, выполняемой на противоположной от опухоли стороне. Один раз в неделю в течение 3 недель (дни 6, 13 и 20) мыши получали или не получали инъекцию 30 мг/кг анти-CK8 антитела (М20, mD-A10 или mD-D6). У каждой мыши два раза в неделю измеряли объем опухоли на протяжении эксперимента. На графике показан средний объем опухолей для каждой группы мышей со стандартным отклонением, равным 3 мышам на группу. Как показано на фиг. 7, mD-A10 ингибировало на самом высоком уровне рост клеток Ізгесо-1 колоректального рака, подкожно имплантированных мышам, по сравнению с антителом М20, тогда как mD-D6 не контролировало развитие опухоли.

Дозозависимый эффект концентрации mD-A10 Mab на рост опухолевых клеток колоректального рака HCT116, подкожно имплантированных мышам.

Клетки HCT116 (10×10^6) подкожно инъецировали 18 мышам SCID CB17. Через 10 дней опухоли достигали объема 100-150 мм³. В этот момент мышей разделяли на шесть групп по три мыши. Каждая

группа получала или не получала специфическое лечение путем интраперитонеальной инъекции на противоположной стороне от опухоли. Один раз в неделю в течение трех недель (дни 10, 17 и 24) мыши получали или не получали 1, 3, 10, 30 или 60 мг/кг mD-A10 Mab. Для каждой мыши два раза в неделю измеряли объем опухоли на протяжении эксперимента. На графике показан средний объем опухолей в каждой группе мышей со стандартным отклонением, равным трем мышам на группу. Результаты показаны на фиг. 10.

Получение гуманизированного антитела (Mab) против СК8 из mD-A10 Mab.

ДНК, кодирующую антитело, выделяли и секвенировали с использованием общепринятых процедур (например, путем использования олигонуклеотидных зондов, которые способны специфически связываться с генами, кодирующими тяжелые и легкие цепи мышиных антител). Клетки гибридомы служили в качестве предпочтительного источника такой ДНК.

Превращение мышиного антитела (Mab) в нативное химерное антитело (Mab).

кДНК, соответствующую вариабельной области из гибридомы, получали с использованием двух подходов. Первый подход состоял в использовании в РСR наборе вырожденных праймеров на основе N-концевой аминокислотной последовательности, созданных после N-концевого секвенирования. Второй подход состоял в использовании в РСR набора вырожденных праймеров, генерированных с помощью базы данных праймеров IMGT®, и специфических праймеров, описанных ранее (Essono et al., J Immunol Methods. 2003; 203: 279:25-66, Wang et al., Mol Immunol. 1991; 28:1387-97). Последовательность N-концевой вариабельной области определяли с использованием способа деградации Эдмана. Выделение тотальной РНК проводили с использованием набора Tri Reagent kit в соответствии с протоколом, описанным поставщиком Sigma. Амплифицированные фрагменты VL и VH клонировали в клонирующий вектор ТОРО-ТА (Invitrogen) для анализов последовательности посредством способа терминации дидеокси (Sanger et al., Nature. 1977; 265:687-95). Затем конструкции вариантов антител амплифицировали с помощью РСR и клонировали в экспрессионный вектор.

Положения пронумерованы в соответствии с IMGT®, индексом Kabat® и общепринятыми системами нумерации (Common Numbering Systems) (Идентичные аминокислотные последовательности в V-области и сегменты последовательностей в антителах различных видов). Анализировали относительные вклады генов VH и VL, мини-генов и определяющих комплементарность участков в связывание антителообъединяющих участков (Kabat et al., NIH Publ. 1991; NO: 91-3242, Vol. 1, 647-669).

Нуклеотидные или аминокислотные последовательности химерного D-A10 Mab показаны в перечне последовательностей:

нуклеотидная последовательность вариабельной области мышиной легкой цепи mD-A10 Mab (SEQ ID NO: 30) и ее производная аминокислотная последовательность (SEQ ID NO: 31);

нуклеотидная последовательность вариабельной области мышиной тяжелой цепи mD-A10 Mab (SEQ ID NO: 32) и ее производная аминокислотная последовательность (SEQ ID NO: 33);

нуклеотидная последовательность константной области человеческой тяжелой цепи chD-A10 Mab (SEQ ID NO: 48) и ее производная аминокислотная последовательность (SEQ ID NO: 47);

нуклеотидная последовательность константной области человеческой легкой цепи chD-A10 Mab (SEQ ID NO: 50) и ее производная аминокислотная последовательность (SEQ ID NO: 49).

CDR- и FR-области антитела определяли в соответствии с различными подходами к нумерации, такими как IMGT (ImMunoGeneTics Information System® http://imgt.cines.fr), Kabat или Common Numbering System. Однако определенные согласно IMGT CDR для заданного антитела необязательно являются идентичными CDR, определенным с помощью других систем нумерации. CDR и каркасные области вариабельных доменов были идентифицированы автором изобретения с помощью систем нумерации IMGT.

Превращение химерного Мав в гуманизированное Мав.

Гуманизированную H- и L-цепь создавали с использованием прививания CDR с помощью PCR. Для создания гуманизированного антитела, в котором CDR мышиного моноклонального антитела привиты на человеческое антитело, предпочтительно получить высокую гомологию между вариабельной областью мышиного моноклонального антитела и вариабельной областью человеческого антитела. Таким образом, V-области H-цепи и L-цепи мышиного моноклонального антитела против человеческого CK8 сравнивали с V-областью всех известных человеческих антител с использованием программного обеспечения IMGT/DomainGapAlign. Когда мышиное антитело гуманизировано с использованием общепринятых способов, аминокислотная последовательность некоторых каркасных участков (FR) V-области мышиного антитела, поддерживающих CDR, по желанию, может быть привита на FR человеческой V-области.

Для обеих гуманизированных V-областей H-цепи и L-цепи можно выбрать V-области (IGKV2-28*01, IGHV13-74*01) и J-области (IGKJ2*01, IGHJ4*01) L- и H-цепи соответственно, имеющие высокую гомологию с V-областью и J-областью H- и L-цепи mD-A10. Вариабельные области H- и L-цепи Hz D-A10 амплифицировали с помощью PCR и клонировали в экспрессионный вектор p3U, содержащий константную область человеческого IgG1.

В случае антител с привитыми мышиными CDR активность связывания снижается при прививании

аминокислотной последовательности CDR только в человеческое антитело. Для того, чтобы избежать этого снижения, поскольку аминокислотные остатки в FR различаются между человеческим антителом и мышиным антителом, вместе с аминокислотной последовательностью CDR прививают аминокислотные остатки, которые, как полагают, оказывают влияние на активность связывания. Таким образом, в этом примере была сделана попытка идентифицировать аминокислотные остатки в FR, которые, как полагают, оказывают влияние на активность связывания.

В табл. 3 показаны последовательности CDR для VH и VL антитела Hz D-A10 Mab после прививания SDR.

Реактивность Mab в отношении пептидов СК8, определенная с помощью ELISA.

Пептиды СК8, конъюгированные или не конъюгированные с бычьим сывороточным альбумином (BSA) через SH-группу С-концевого цистеина, иммобилизовали (0,5 или 1 мкг/мл соответственно) на дне лунок 96-луночного планшета в течение ночи при комнатной температуре. Несвязанные пептиды удаляли, осуществляя промывку очищенной водой, дополненной Tween (Sigma, St Quentin Fallavier, France). Затем лунки насыщали фосфатно-солевым буферным раствором (PBS), содержащим 5% BSA, в течение 2 ч при комнатной температуре (RT). Затем планшеты промывали очищенной водой, дополненной Tween. Связывание Маb с покрывающими лунки пептидами тестировали при различных концентрациях Маb после инкубации в течение 2 ч при RT в PBS (Invitrogen, Villebon sur Yvette, France), дополненном 1%-м бычьим сывороточным альбумином (Sigma, St Quentin Fallavier, France). Несвязанные Мabs удаляли, осуществляя промывку очищенной водой, дополненной Tween. Затем связанные Мab выявляли с помощью козьего антимышиного вторичного IgG-антитела, конъюгированного с пероксидазой хрена (HRP) (Віогаd, France). Поглощение считывали при длине волны 450 нм и корректировали при 630 нм. Специфические требования для различных экспериментов подробно описаны ниже.

Реактивность MAb в отношении различных пептидов 1 (SEQ ID № 1), 2 (SEQ ID № 2), 3 (SEQ ID № 3), 4 (SEQ ID № 4) и 17 (SEQ ID № 17) человеческого CK8.

Пептиды 1, 2, 3 или 4 человеческого СК8, модифицированные путем добавления С-концевого цистеина, конъюгировали с BSA через SH-группу С-концевого цистеина и иммобилизовали на дне 96-луночного планшета. Полная последовательность человеческого СК8, содержащая 483 аминокислоты (аа) (ref Uni-ProtKB P05787), показана на фиг. 11. Положения последовательностей пептидов 1, 2, 3 и 4 указаны серыми и черными стрелками на последовательности человеческого СК8:

Пептид 1 (SEQ ID № 1): AEQRGELAIKDANAKLSELEAALQRAKQD-C (aa 338-aa 366).

Пептид 2 (SEQ ID № 2): AEQRGELAIKDANAKLSELE-C (aa 338-aa 357).

Пептид 3 (SEQ ID № 3): AALQRAKQD-C (aa 358-aa 366).

Пептид 4 (SEQ ID № 4): SELEAALQRAKQD-C (aa 354-aa 366).

Пептид 17 (SEQ ID № 17): C-AIKDANAKLSELEAALQRAKQD (aa 345-aa 366).

Различные концентрации Mab (от 10 мкг/мл, затем разведенные 1/10) инкубировали в течение 2 ч при комнатной температуре с пептидом 1, пептидом 2, пептидом 3, пептидом 4 или пептидом 17. Величины оптической плотности (OD) считывали при 450 нм и корректировали при 630 нм. Результаты показаны на фиг. 12 и обобщены в табл. 7 ниже. Эти результаты четко демонстрируют профиль реактивности mD-A10, который отличается от профиля реактивности антитела M20.

Таблица 7 Реактивность Mab в отношении покрывающих лунки пептидов 1-4 и пептида 17, конъюгированных с BSA

			Реактивность MAb в			
Пептид (N°)		отно	ошении			
	Последовательность СК8 (аа)		покры	івающих		
	Tioune Adduction of the (uni)	лунки пептидов,				
		конъюгированных				
			BSA			
			M20	D-A 10		
Пептид 1	338-AEQRGELAIKDANAKLSELEAALQRAKQI	D-C-366	+	+++		
Пептид 2	338-AEQRGELAIKDANAKLSELE-C-357		-	-		
Пептид 3	358-AALQRAKQD-C-366		-	-		
Пептид 4	354-SELEAALQRAKQD-C-366		-	++		
Пептид 17	345-C-AIKDANAKLSELEAALQRAKQD-366		+	+++		

Уровень реактивности Mab в отношении распознавания или не распознавания покрывающих лунки конъюгированных с BSA пептидов 1, 2, 3, 4 или 17 соответственно указан с помощью знаков, таких как +++ (сильная), ++ (средняя), + (слабая) или - (отсутствует).

Реактивность MAb в отношении различных покрывающих лунки неконъюгированных пептидов 1, 5-28 (SEQ ID NO: 1, SEQ ID NO: 5-SEQ ID NO: 28) человеческого CK8.

Неконъюгированные пептиды 1, 5-28 человеческого СК8 иммобилизовали (2 мкг/мл) на дне 96-луночного планшета. Различные концентрации Mab (от 10 мкг/мл затем разведенные 1/10) инкубировали в течение 2 ч при комнатной температуре отдельно или с каждым тестируемым пептидом. Величины оптической плотности (OD) считывали при 450 нм и корректировали при 630 нм. Результаты показаны на фиг. 13A (относятся к mD-A10) или на фиг. 13B (относятся к M20). Сравнительный анализ показан в

табл. 8 ниже. Эти результаты ясно демонстрируют отличие профиля реактивности mD-A10 от профиля реактивности антитела M20 в отношении тестируемой панели пептидов.

Таблица 8 Реактивность Mab в отношении различных

покрывающих лунки неконъюгированных пептидов

Пептид (N°)	Последовательность СК8 (аа)	покрі свобо	стивность Ab в отношении ывающих лунки одных пептидов
		D- A10	M20
Пептид 1	338-AEQRGELAIKDANAKLSELEAALQRAKQD-C-366	+++	+
Пептид 5	338-AEQRGELAIKDANAKLSELEAALQRAKQD-366	+++	+
Пептид 6	358-AALQRAKQD-366	-	-
Пептид 7	357-EAALQRAKQD-366	-	-
Пептид 8	356-LEAALQRAKQD-366	-	-
Пептид 9	355-ELEAALQRAKQD-366	-	-
Пептид 10	354-SELEAALQRAKQD-366	-	-
Пептид 11	353-LSELEAALQRAKQD-366	++	-
Пептид 12	352-KLSELEAALQRAKQD-366	++	-
Пептид 13	351-AKLSELEAALQRAKQD-366	++	-
Пептид 14	350-NAKLSELEAALQRAKQD-366	+++	-
Пептид 15	349-ANAKLSELEAALQRAKQD-366	+++	-
Пептид 16	348 -DANAKLSELEAALQRAKQD-366	+++	-
Пептид 17	345-C-AIKDANAKLSELEAALQRAKQD-366	+++	-
Пептид 18	345-AIKDANAKLSELEAALQRAKQ-365	+++	-
Пептид 19	345-AIKDANAKLSELEAALQRAK-364	+++	-
Пептид 20	345-AIKDANAKLSELEAALQRA-363	+++	-
Пептид 21	345-AIKDANAKLSELEAALQR-362	+++	-
Пептид 22	345-AIKDANAKLSELEAALQ-361	+++	-
Пептид 23	345-AIKDANAKLSELEAAL-360	+++	-
Пептид 24	345-AIKDANAKLSELEAA-359	-	-
Пептид 25	345-AIKDANAKLSELEA-358	-	-
Пептид 26	345-AIKDANAKLSELE-357	-	-
Пептид 27	345-AIKDANAKLSEL-356	-	-
Пептид 28	345-AIKDANAKLSE-355	-	-

Уровень реактивности Mab в отношении распознавания или не распознавания покрывающих лунки неконъюгированных пептидов соответственно указан с помощью знаков, таких как +++ (сильная), ++ (средняя), + (слабая) или - (отсутствует).

Эффект свободных пептидов 1, 5-28 (SEQ ID NO: 1, SEQ ID NO: 5-SEQ ID NO: 28) в отношении распознавания антителом mD-A10 Mab покрывающего лунки BSA-конъюгированного пептида 1 или 17.

При проведении конкурентных анализов mD-A10 Mab с различными пептидами СК8 смесь пептидантитело инкубировали в течение 30 мин перед помещением в присутствие пептида для детекции того, что он был иммобилизован на дне лунок. Антитело mD-A10 Mab помещали в присутствии пептидов 1, 5-28 (SEQ ID NO: 1, SEQ ID NO: 5-SEQ ID NO: 28) либо для распознавания BSA-конъюгированного пептида 1 (SEQ ID NO: 1), либо для распознавания BSA-конъюгированного пептида 17 (SEQ ID NO: 17).

Пептид 1 человеческого СК8, модифицированный путем добавления цистеина в С-концевое положение, конъюгировали с BSA через SH-группу его С-концевого цистеина и иммобилизовали на дне 96-луночного планшета. Мышиное моноклональное антитело D-A10 при концентрации 1 нг/мл инкубировали в течение 30 мин в присутствии пептидов 1,5-28 при различных концентрациях (10, 1, 0,1 или 0,01 мкг/мл). Затем добавляли смесь пептид-антитело или только антитело и выдерживали в течение 2 ч при комнатной температуре с покрывающим лунки BSA-конъюгированным пептидом 1 или с покрывающим лунки BSA-конъюгированным пептидом 17 и использовали для детекции с помощью ELISA. Величины оптической плотности (ОD) считывали при 450 нм и корректировали при 630 нм. Результаты показаны на фиг. 14 для покрывающего лунки BSA-конъюгированного пептида 1 или на фиг. 15 для покрывающего лунки BSA-конъюгированного пептида 17.

ФОРМУЛА ИЗОБРЕТЕНИЯ

1. Моноклональное антитело или фрагмент антитела, где указанное антитело или его фрагмент специфически связывает человеческий цитокератин-8 (СК8), при этом указанное антитело содержит

тяжелую цепь, содержащую следующие три CDR, соответственно CDR-H1, CDR-H2 и CDR-H3, при этом

CDR-H1 содержит последовательность SEQ ID NO: 37; и CDR-H2 содержит последовательность SEQ ID NO: 38; и CDR-H3 содержит последовательность SEQ ID NO: 39; и

легкую цепь, содержащую следующие три CDR, соответственно CDR-L1, CDR-L2 и CDR-L3, при этом

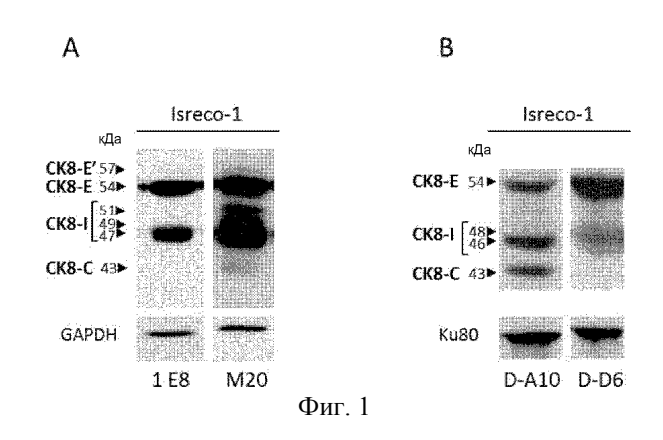
- CDR-L1 содержит последовательность SEQ ID NO: 34; и CDR-L2 содержит последовательность SEQ ID NO: 35; и CDR-L3 содержит последовательность SEQ ID NO: 36.
- 2. Антитело или фрагмент антитела по п.1, отличающееся тем, что указанное антитело представляет собой гуманизированное антитело, сохраняющее свойство связывания с человеческим СК8 родительского антитела.
- 3. Антитело или фрагмент антитела по п.2, отличающееся тем, что содержит указанные CDR-H1, CDR-H2, CDR-H3, CDR-L1, CDR-L2 и CDR-L3.
- 4. Антитело или фрагмент антитела по п.1, отличающееся тем, что оно содержит цепь VL, имеющую последовательность SEQ ID NO: 31, и цепь VH, имеющую последовательность SEQ ID NO: 33.
- 5. Гуманизированное антитело или фрагмент антитела, где указанное антитело или его фрагмент специфически связывают человеческий цитокератин-8 (СК8), при этом указанное антитело содержит

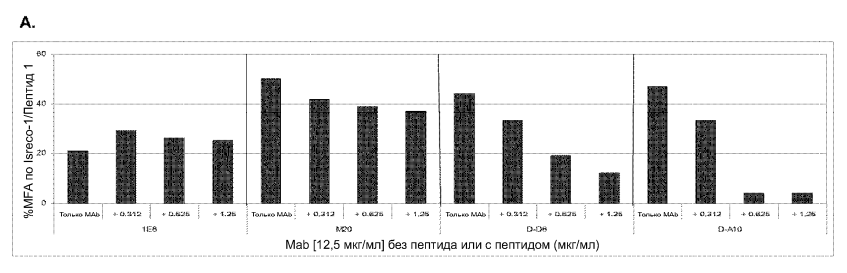
тяжелую цепь, содержащую следующие три CDR, соответственно CDR-H1', CDR-H2' и CDR-H3', при этом

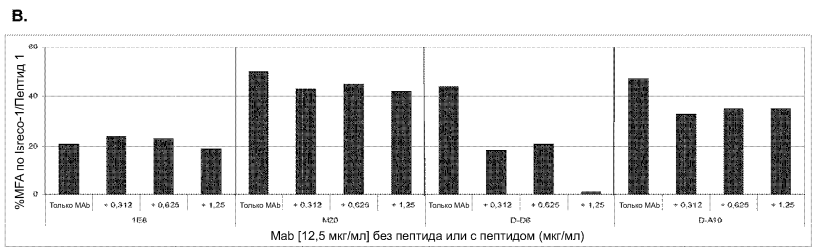
- CDR-H1' содержит последовательность SEQ ID NO: 40; и
- CDR-H2' содержит последовательность SEQ ID NO: 41; и
- CDR-H3' содержит последовательность SEQ ID NO: 39; и

легкую цепь, содержащую следующие три CDR, соответственно CDR-L1', CDR-L2' и CDR-L3', при этом

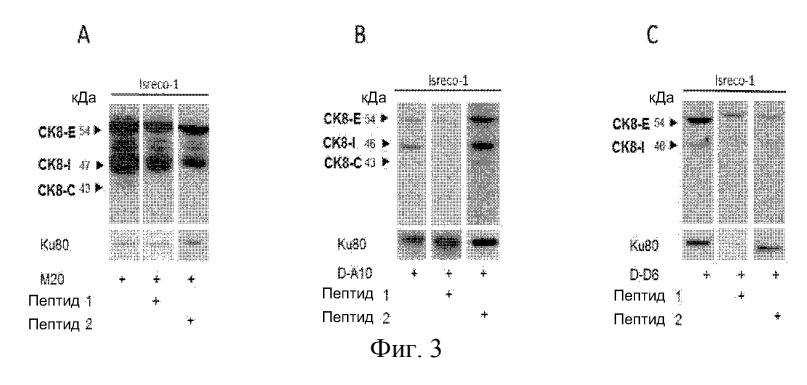
- CDR-L1' содержит последовательность SEQ ID NO: 42; и
- CDR-L2' содержит последовательность SEQ ID NO: 35; и
- CDR-L3' содержит последовательность SEQ ID NO: 36.
- 6. Антитело или фрагмент антитела по п.5, отличающееся тем, что оно содержит цепь VH, имеющую последовательность SEQ ID NO: 44, и цепь VL, имеющую последовательность SEQ ID NO: 43.
- 7. Антитело или фрагмент антитела по п.5 или 6, отличающееся тем, что оно содержит вариабельные области, кодируемые полинуклеотидами, имеющими нуклеотидную последовательность вариабельной области мышиной легкой цепи, представленную в SEQ ID NO: 46, и нуклеотидную последовательность вариабельной области мышиной тяжелой цепи, представленную в SEQ ID NO: 45.
- 8. Антитело или фрагмент антитела по любому из пп.1-7, отличающееся тем, что указанный фрагмент антитела представляет собой Fv, Fab, F(ab')2, scFv.
- 9. Применение моноклонального антитела или фрагмента антитела по любому из предшествующих пунктов для лечения опухолей, клетки которых экспрессируют на своей поверхности белок СК8.
- 10. Применение по п.9, в котором рак выбирают из колоректального рака, рака яичников, рака молочной железы, рака легких, рака яичка, рака поджелудочной железы, рака нервной системы, рака лимфатических узлов, рака почек, рака головы и шеи.
 - 11. Применение по п.9, в котором рак представляет собой инвазивный рак.
- 12. Применение по п.11, в котором инвазивный рак представляет собой инвазивный колоректальный рак.
- 13. Антигенный пептидный эпитоп человеческого СК8 для получения антитела или фрагмента антитела по любому из пп.1-8, состоящий из последовательности SEO ID NO: 29.
- 14. Противораковая фармацевтическая композиция, содержащая антитело или фрагмент антитела по любому из пп.1-8 и подходящий фармацевтический носитель.

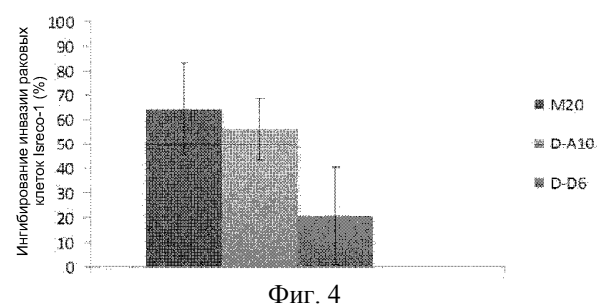


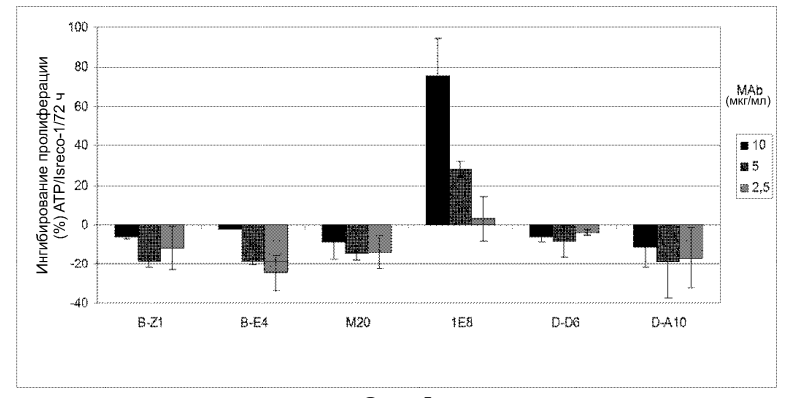




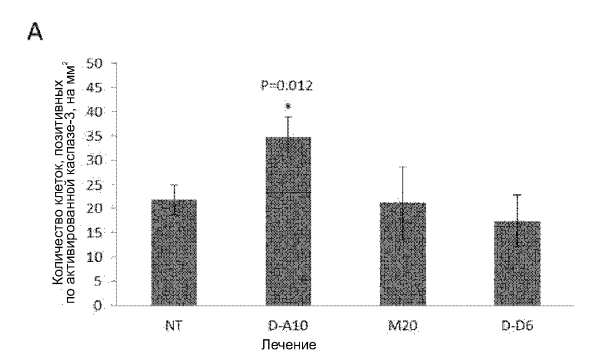
Фиг. 2







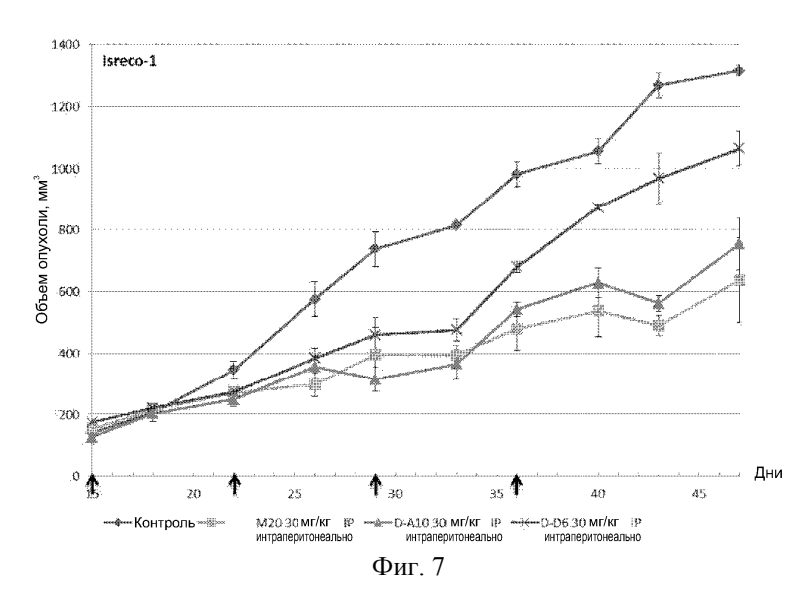
Фиг. 5

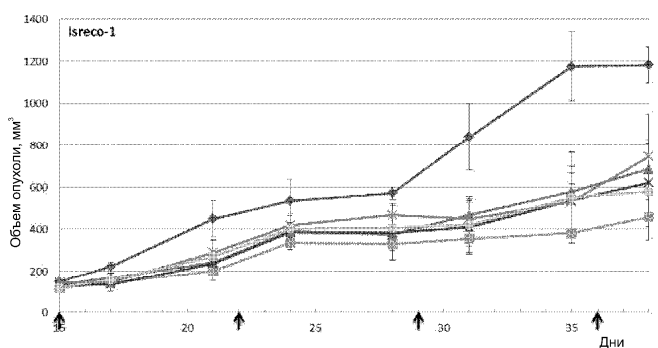


В

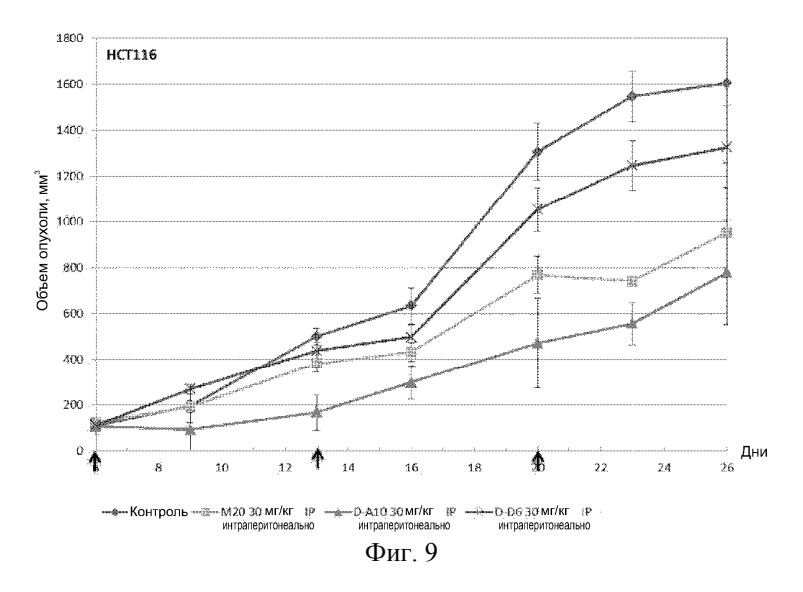


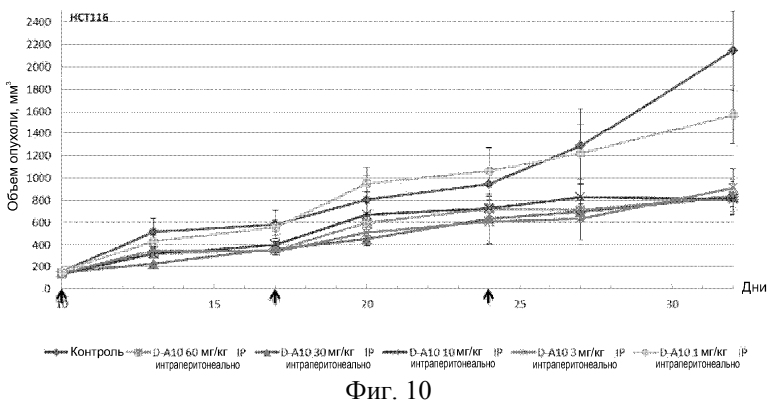
Фиг. 6



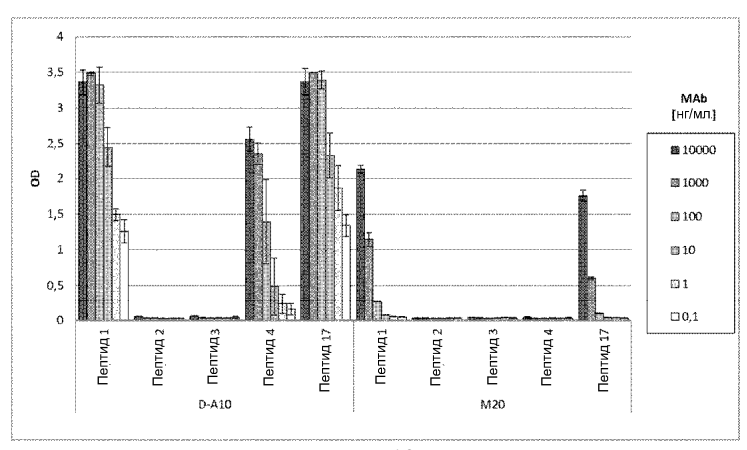


Фиг. 8

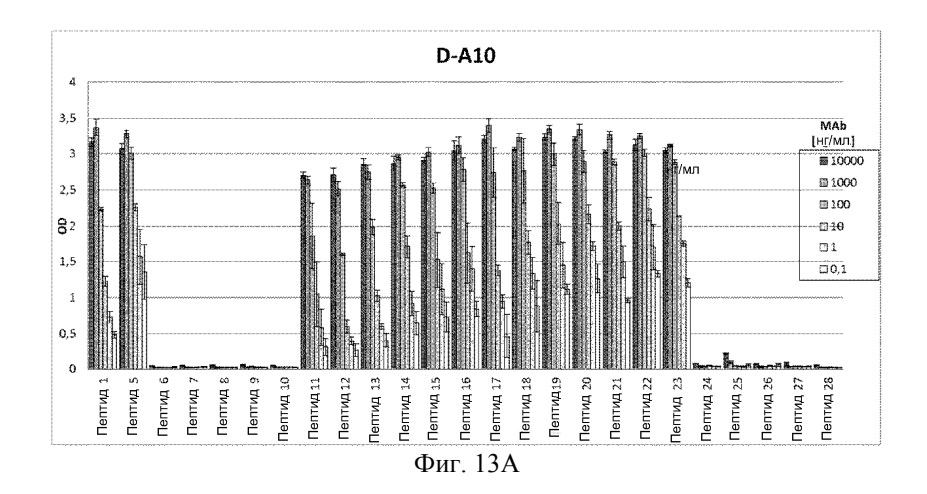


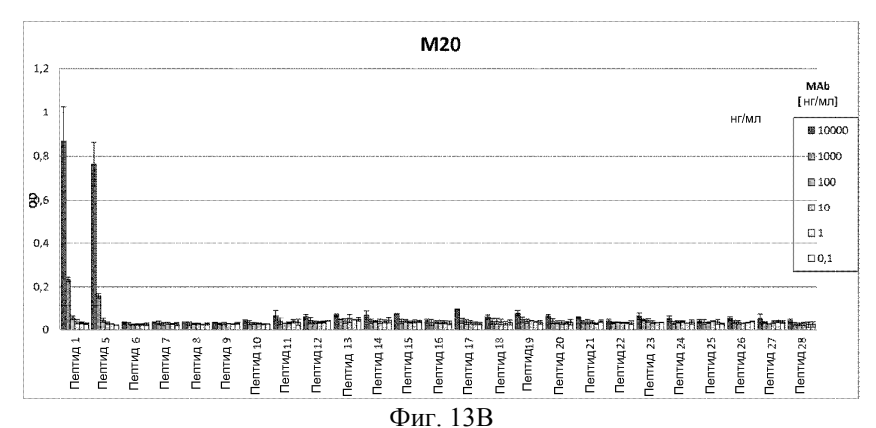


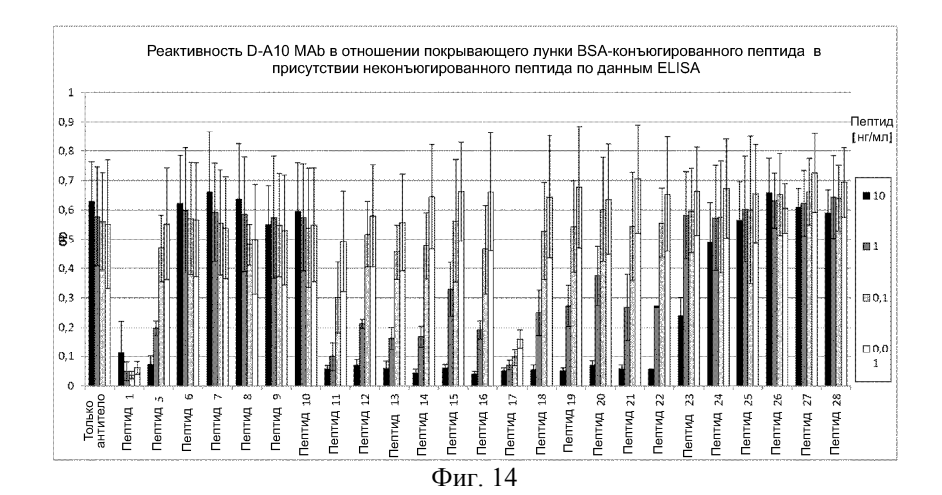
Фиг. 11

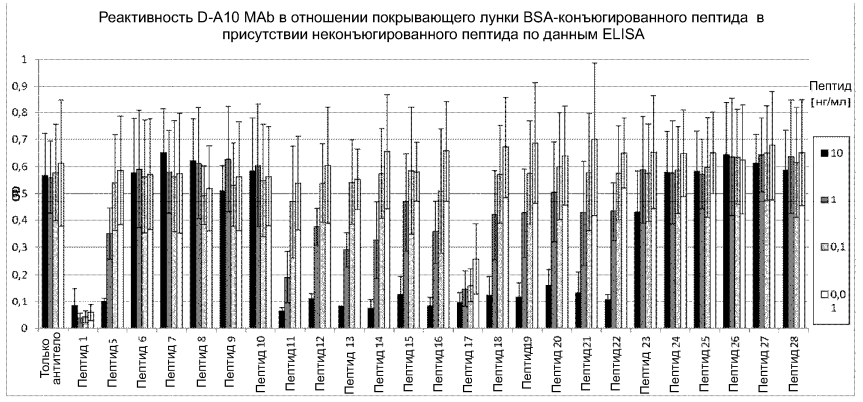


Фиг. 12









<																		
												GTC						
												V						
									T-CT)R1-1	TEMPOTE							ć
												AGT	AAT	GGC	AAC	ACT	TAT	
S	1	S	C	R	S	S	K	S	L	L	¥	5	N	G	N	T	Y	L
** ** **]	L~FR2	-IMG	T	^^ .^\ .	^^ .^^ .^								>	L-CD	R2~1	MGT
												CGC						
Y	W	F	L	Ų	M	1,	(şi	Ω	25	P	Q	R	77	1	x	Y	М	S
												L-FF						
				GGA.							GGC	AGA R	GGG			ACT		
**																		~
ZCZ	790	aca	Parc	ACS								GGT						r'A a
	L				R							G		Y		C		Q
	7		R3-IN	në m														
AGT					TTC	ACG	TTC	GGT	GGA	GGC	ACC	AAG	CTC	GAG	ATC	AAA		
S	L	E.	X	P	F	T	F	G	G	G	T	K	L	E	I	E.		
								Φ	ИГ.	16								
												1-IM						
																		GGA
E.	V	% £	1.4	La	E,	1.	G	13	Ç	J.	9	Q	.15*	€3	G	25	15.	Q
				~~~>		ev ev ev				1-IM		. www.es	W 45.40					
												TTC F						
				H-FR									774			R2-II		GCA
		P		K	T	L						I			D	G		A
	,										7.	FR3-	T X 80780					
ATA																		AAG
I	K	Y	A	P	S	1	K	D	R	F	$\mathbf{T}$	Ι	F	R	n	1:1	D	K
												GAG						
S	7	L	¥	L	Q	M	S	11	V	R	S	Е	D	T	A	Т	Ã	$\mathbf{F}_{s}$
	->					-CDR												
	ATC			TAC								TGG W						
*/	1	**		4		G.	3	•	~	**	•	**	G	~	9	,	*,1	*
			C TO															
Ţ	¥	S		3														
								Ψ	ИГ.	17								
												l-IM CAG						
		Q						G				Q						
CTG	TCC	TGC		> GCA	AGC	GGC	TTT			1-IM TCT		TAC	TGG			TGG		CGG
	S	C				G		T				Y						
				H-FR	2T M	ar					>				4CDI	72Tt	dGT	
CAA	GCC	CCA	GGG	AAG	GGA	CTG	GTG	TGG	GTG	AGC	GAT	ATT	AAT	AGT	GAC	GGC	TCT	TCT
Q	A	P	G	E	G	L	v	M	V	s	D	r	N	S	D	G	\$	S
	«,										- H-	FR3-	IMGT					
												ATC						
Т.	P.	x	23	اد	25	¥	ĸ	G	ĸ	7	T	Ι	5	ĸ	IJ	Ľ4	A	35.
	ACC T		TAC	CTC	CAG		aac N		TTG L		GCT A	GAG		ACA T		GTG V		
• •	4	42	*	200					24	1.0	63			*		*	*	
4284.1433 		50/5/4	(* 3 7*	gg 34 27*		CDR3			Solution	To Calai	man	TGG	p-com	(MAK W	ccor	25.50	Zelosca	CROSE
	ATC		CAC H									Tug W						
ACA T		TCC	TCT															
	4		J															

Фиг. 18

Фиг. 19

GCC TCC ACC AAG GGC CCA TCG GTC TTC CCC CTG GCA CCC TCC TCC AAG AGC ACC TCT
A S T K G P S V F P L A P S S K S T S GGC ACC CAG ACC TAC ATC TGC AAC GTG AAT CAC AAG CCC AGC AAC ACC AAG GTG GAC G T Q T Y I C N V N H K P S N T K V D waphwphas offiacts ' AAG AAA GTT GAG CCC AAA TCT TGT GAC AAA ACT CAC ACA TGC CCA CCG TGC CCA GCA K K V B P K S C D K T H T C P P C P A CTC ATG ATC TCC CGG ACC CCT GAG GTC ACA TGC GTG GTG GTG GAC GTG AGC CAC GAA L B I S R T P E V T C V V V D V S H E GAC CCT GAG GTC AAG TTC AAC TGG TAC GTG GAC GGC GTG GAG GTG CAT AAT GCC AAG
D P E V K F N W Y V D G V E V H N A K ACA AAG CCG CGG GAG GAG CAG TAC AAC AGC ACG TAC CGT GTG GTC AGC GTC CTC ACC GTC CTG CAC CAG GAC TGG CTG AAT GGC AAG GAG TAC AAG TGC AAG GTC TCC AAC AAA V L H Q D W L N G K E Y K C K V S N K GCC CTC CCA GCC CCC ATC GAG AAA ACC ATC TCC AAA GCC AAA GGG CAG CCC CGA GAA
A L P A P I E K T I S K A K G Q P R E AAT GGG CAG COG GAG AAC AAC TAC AAG ACC ACG CCT CCC GTG CTG GAC TCC GAC GGC N G Q P E N N Y K T T P P V L D S D G TCC TTC TTC CTC TAC AGC AAG CTC ACC GTG GAC AAG AGC AGG TGG CAG CAG GGG AAC S F F L Y S K L T V D K S R W Q Q G N GTC TTC TCA TGC TCC GTG ATG CAT GAG GCT CTG CAC AAC CAC TAC ACG CAG AAG AGC V F S C S V M H E A L H N H Y T Q K S CTC TCC CTG TCT CCG GGT AAA TGA

Фиг. 20

Фиг. 21



Евразийская патентная организация, ЕАПВ

Россия, 109012, Москва, Малый Черкасский пер., 2